



„Fernrohrbau“





Astrophotografie:

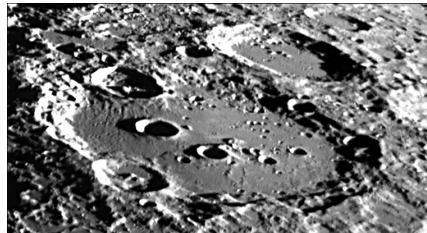


Planetarische Nebel

Nebel



Sternhaufen



Mond

Satelliten, ISS



Galaxien

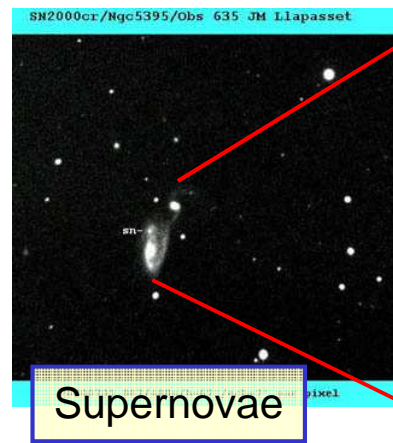


Planeten





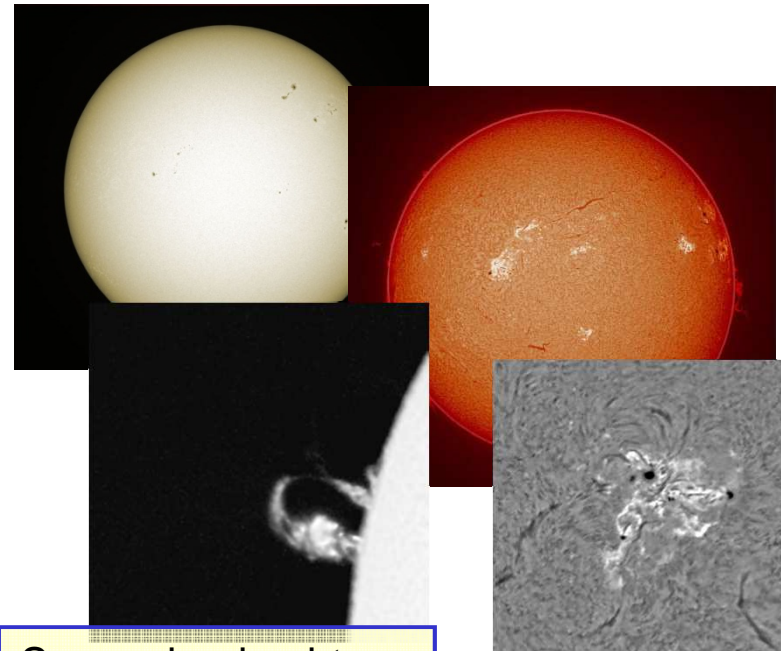
Amateurastronomie:



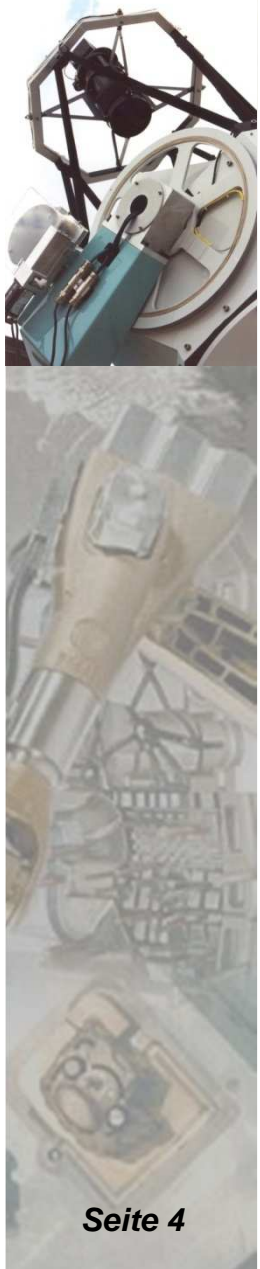
Asteroiden



Kometen

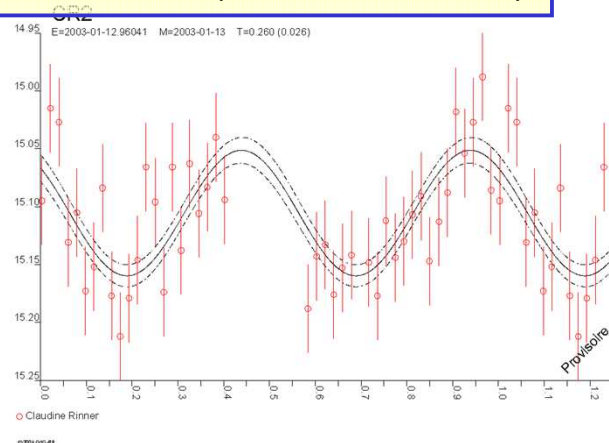


Sonnenbeobachtung

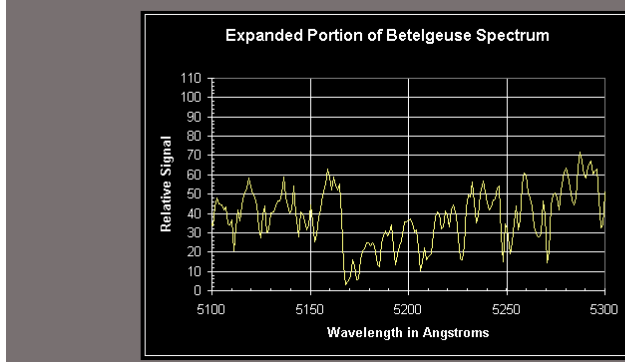
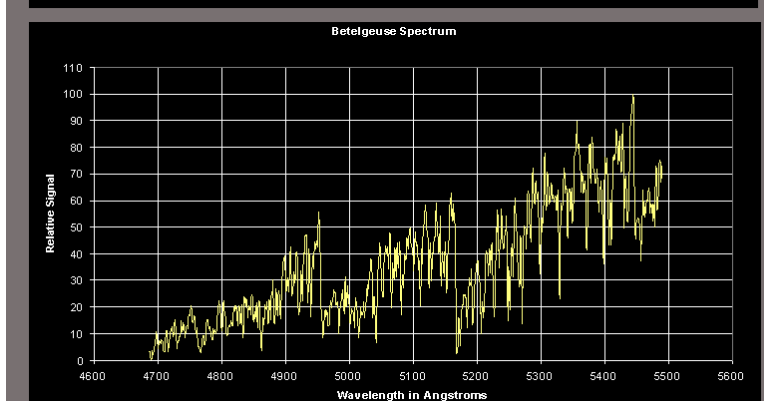
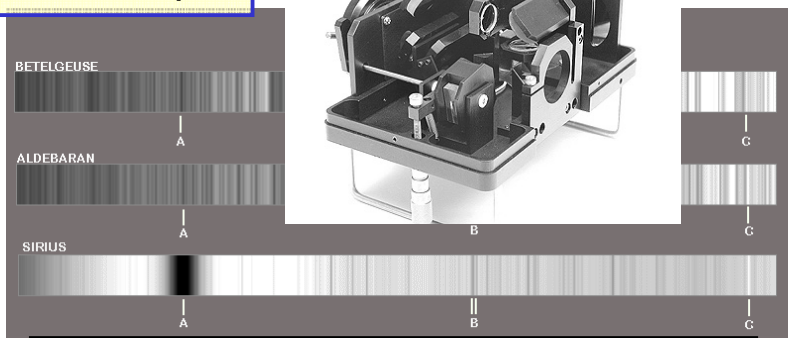


Amateurastronomie:

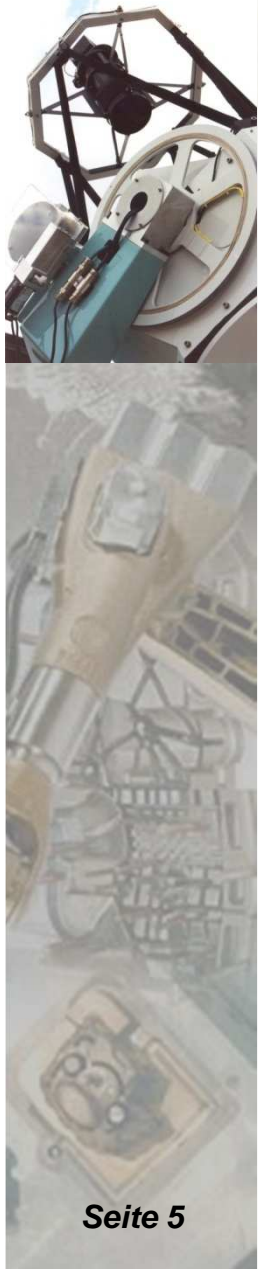
Lichtkurven (Variable Sterne)



Spektroskopie



Teleskop - Geschichte:



Seite 5

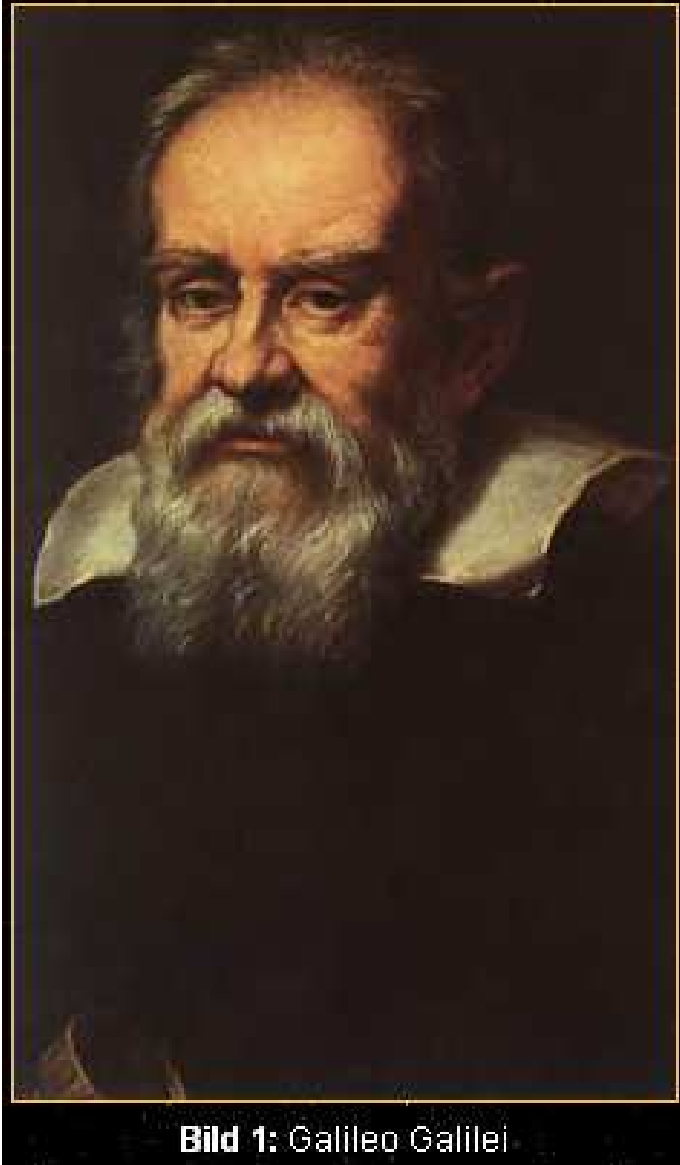


Bild 1: Galileo Galilei

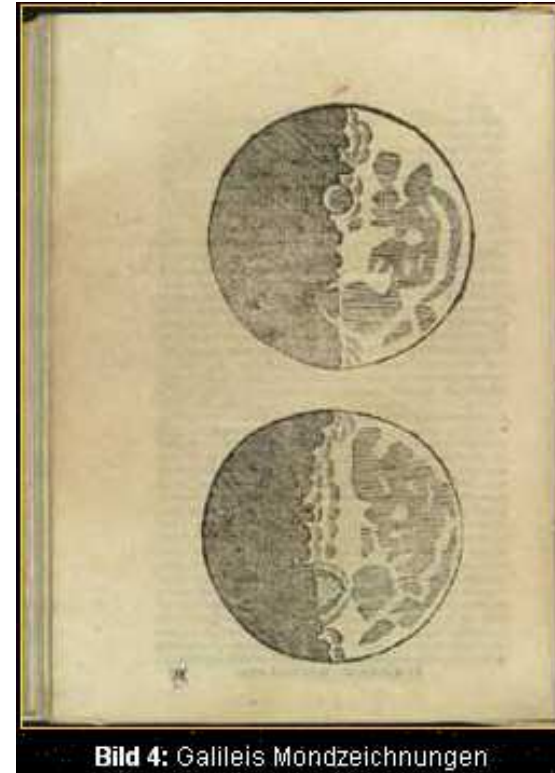


Bild 4: Galileis Mondzeichnungen

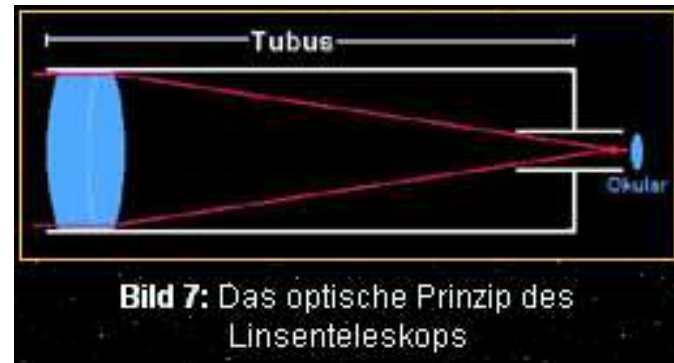


Bild 7: Das optische Prinzip des Linsenteleskops

Teleskop - Geschichte:



Seite 6

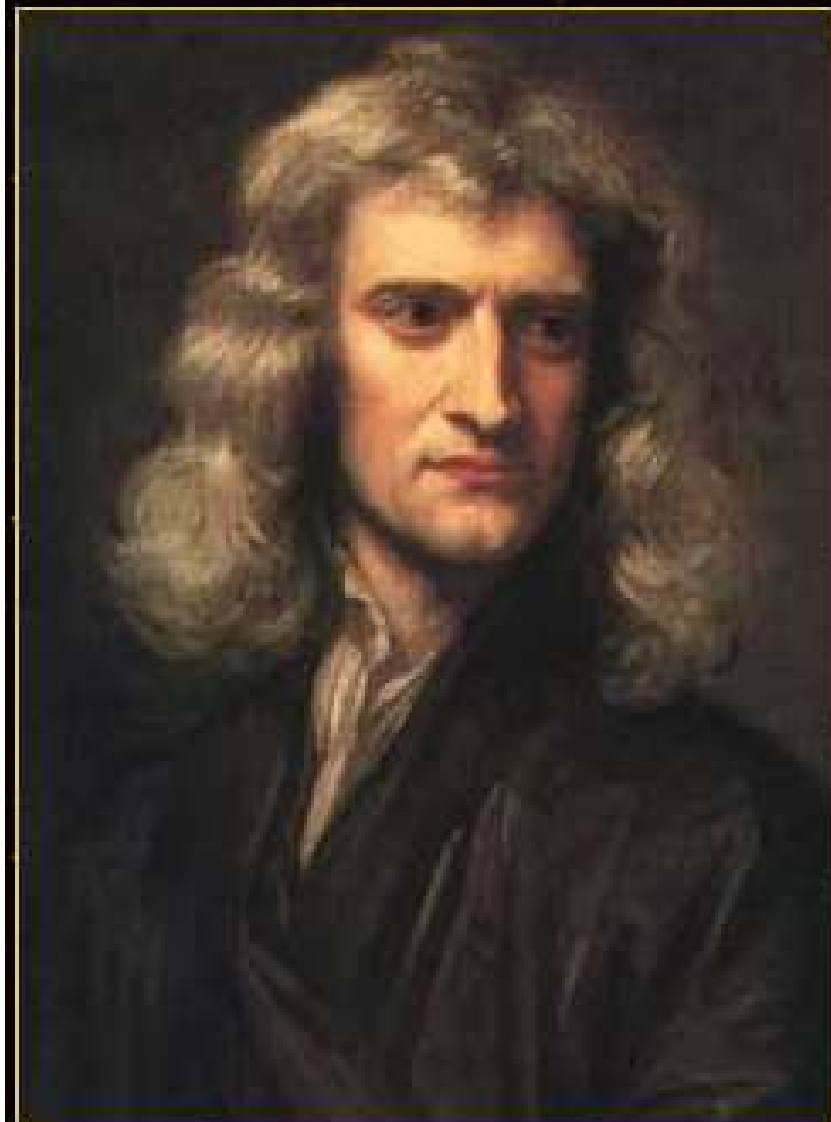


Bild 9: Isaak Newton



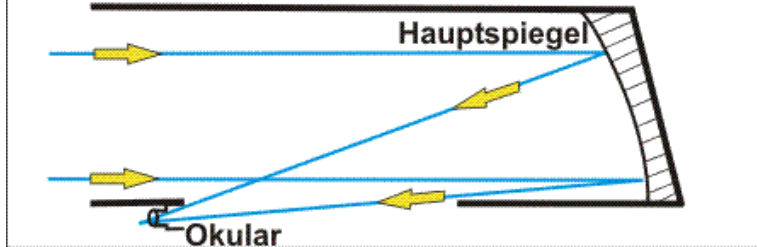
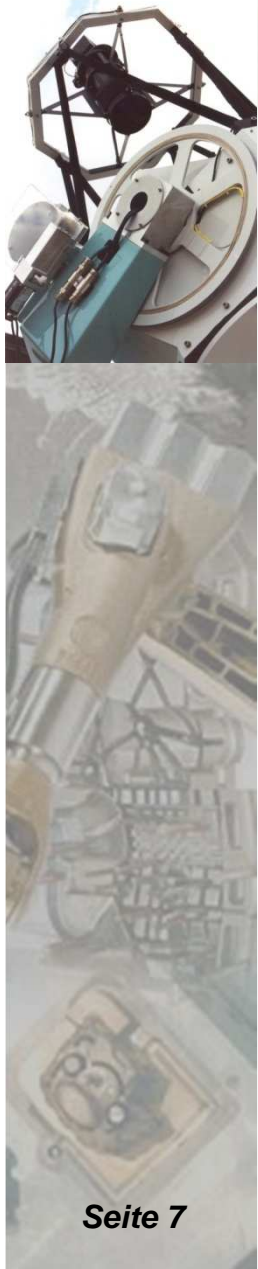
Bild 12: Das optische Prinzip des Newton-Spiegelteleskops



Replica des 6"-Telekopes von
Newton



Teleskop - Geschichte:



1,2m Spiegeldurchmesser

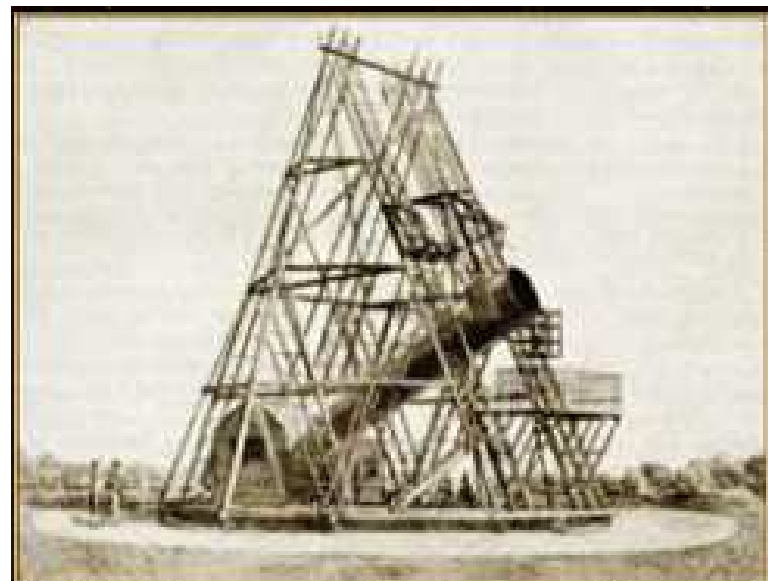
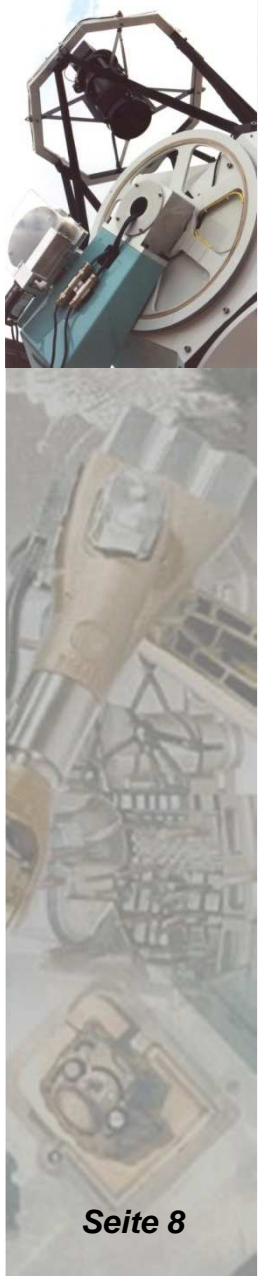
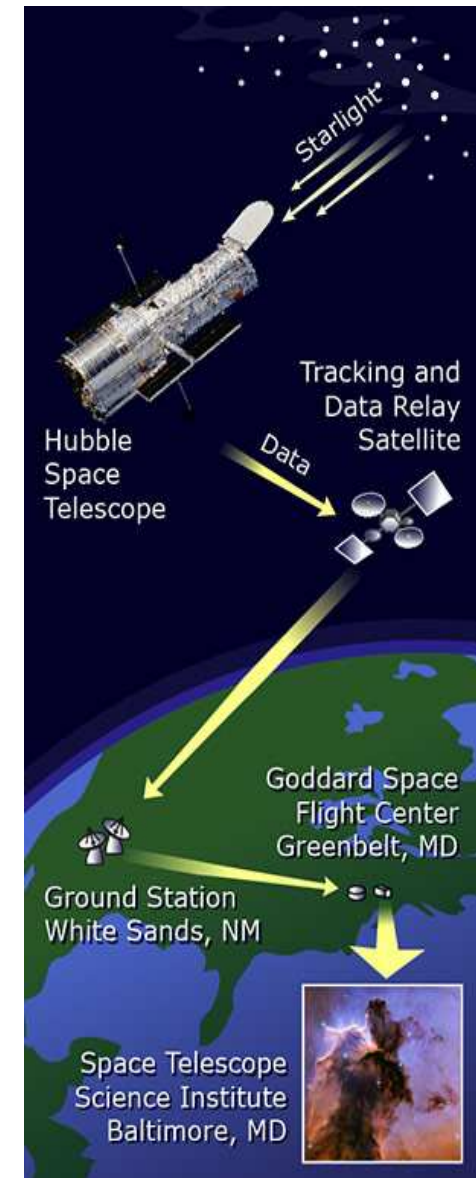


Bild 15: William Herschel

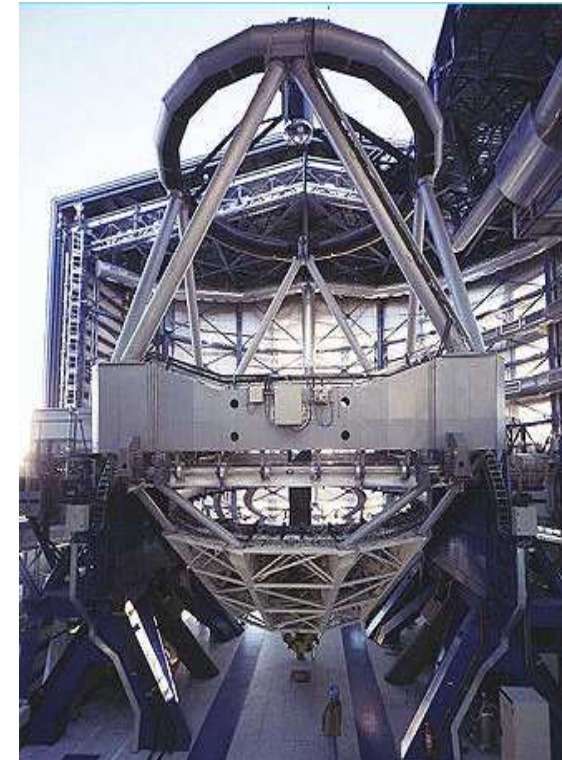
Bild 16: Das große Teleskop von Herschel



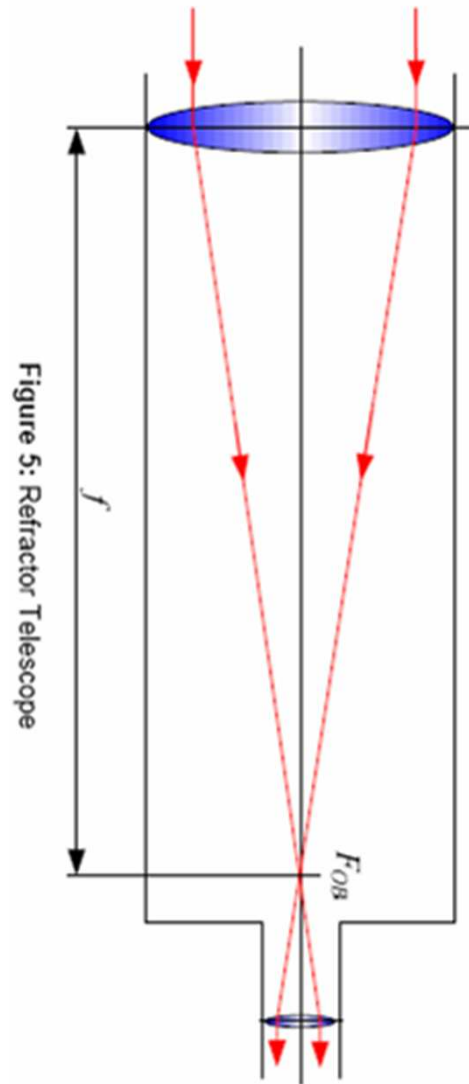
„moderne“ Teleskope:



„moderne“ Teleskope:



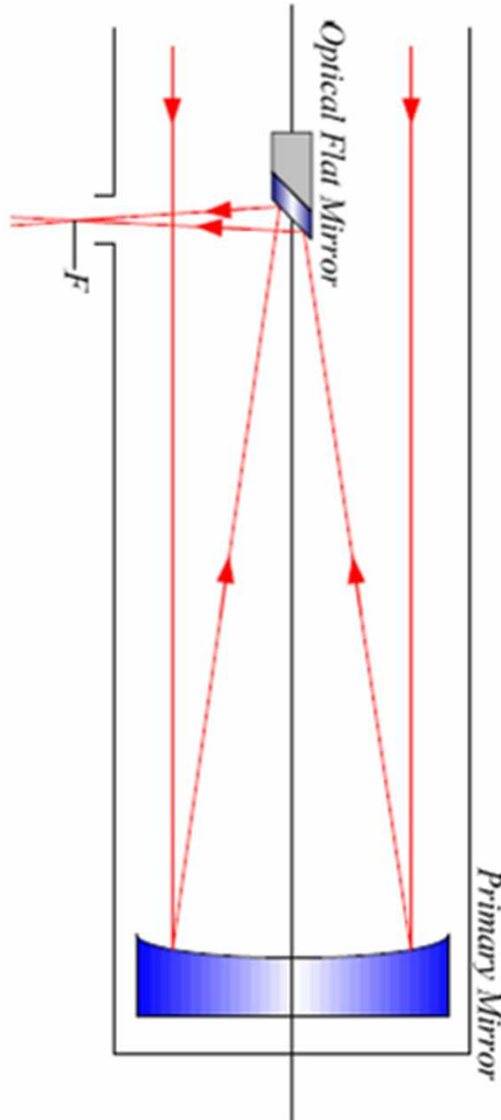
Teleskop Varianten:



Teleskop Varianten:



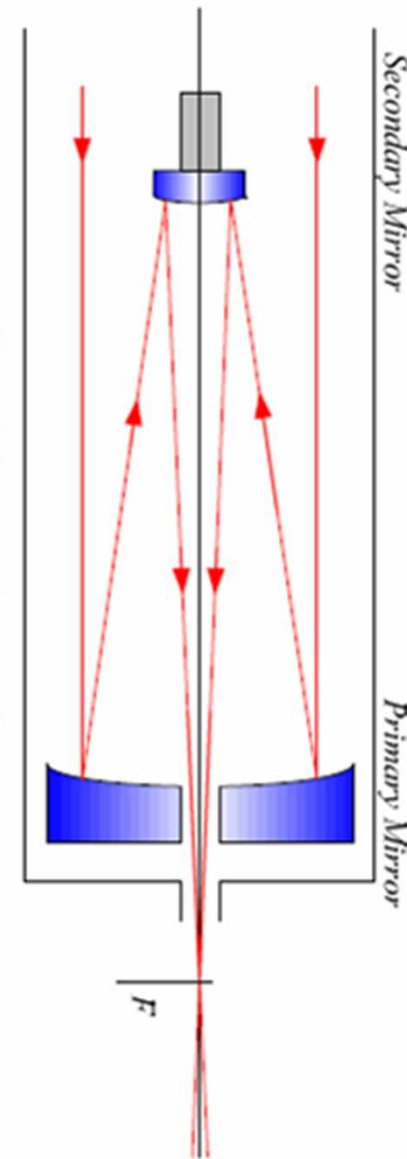
Figure 8: Newton Reflector



Teleskop Varianten:

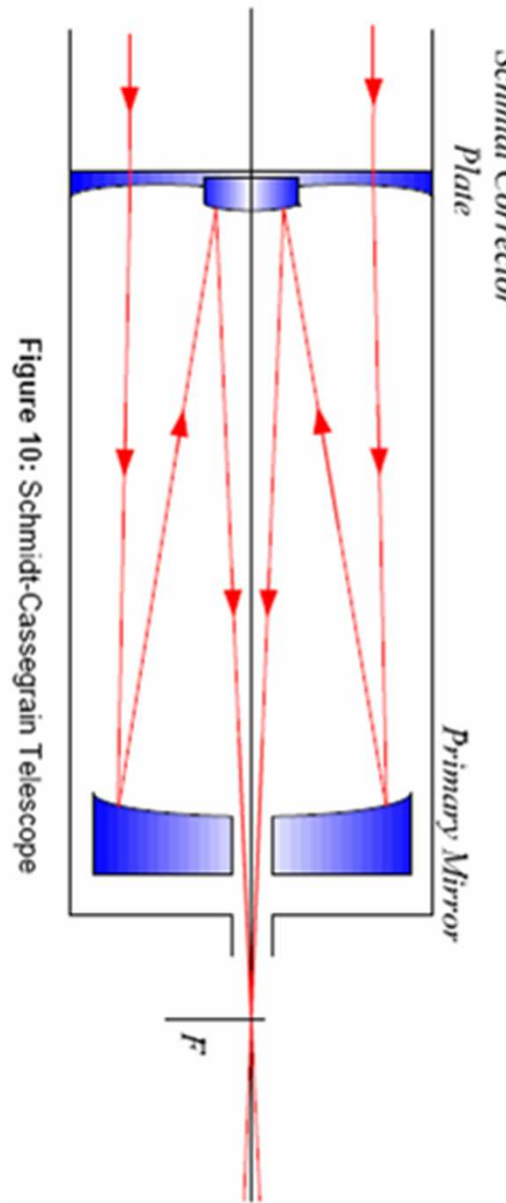


Figure 9: Cassegrain Reflector Telescope

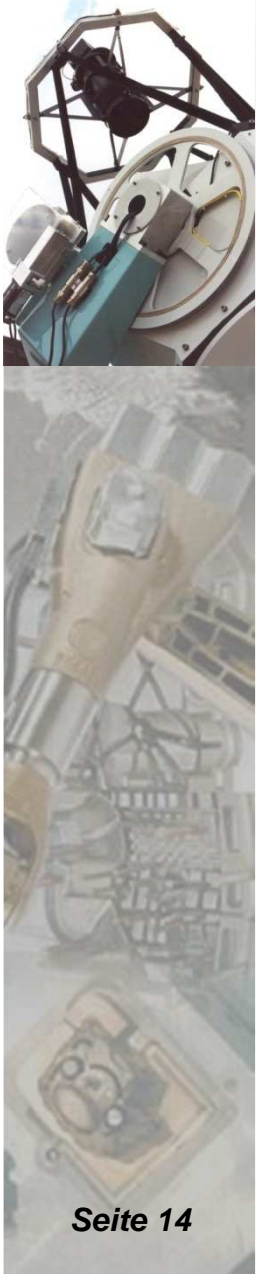




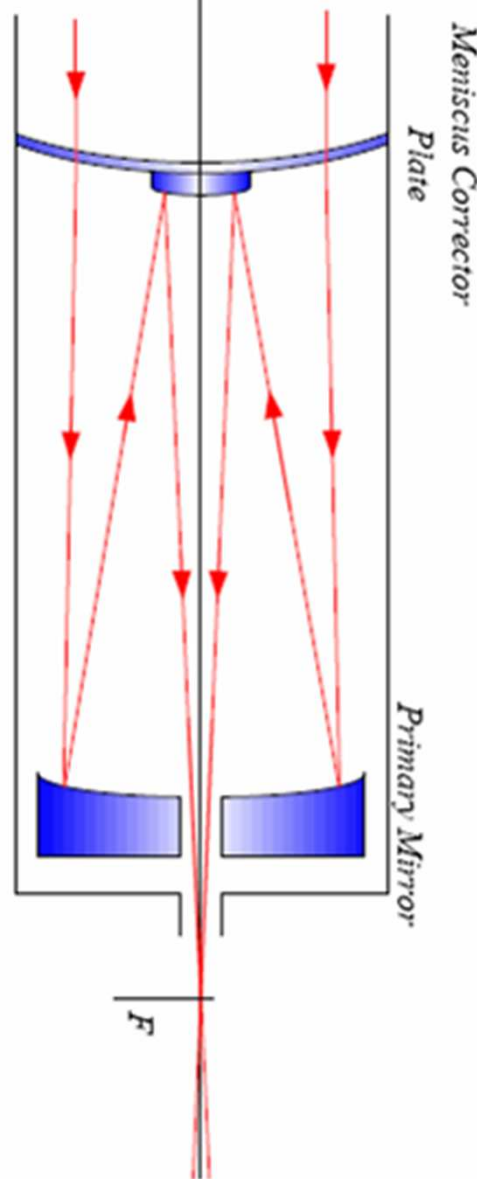
Teleskop Varianten:

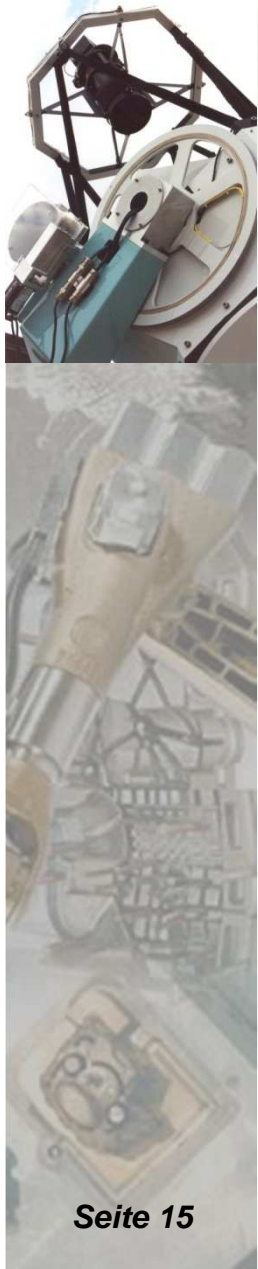


Teleskop Varianten:



Seite 14





Beugung – Airy Disc / Beugungsscheibchen:

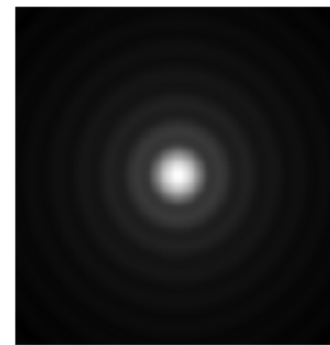


Figure 22: Airy Disc

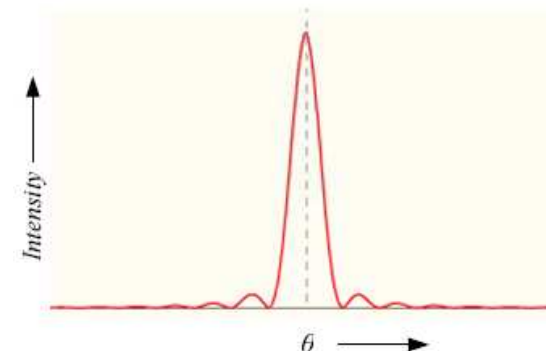
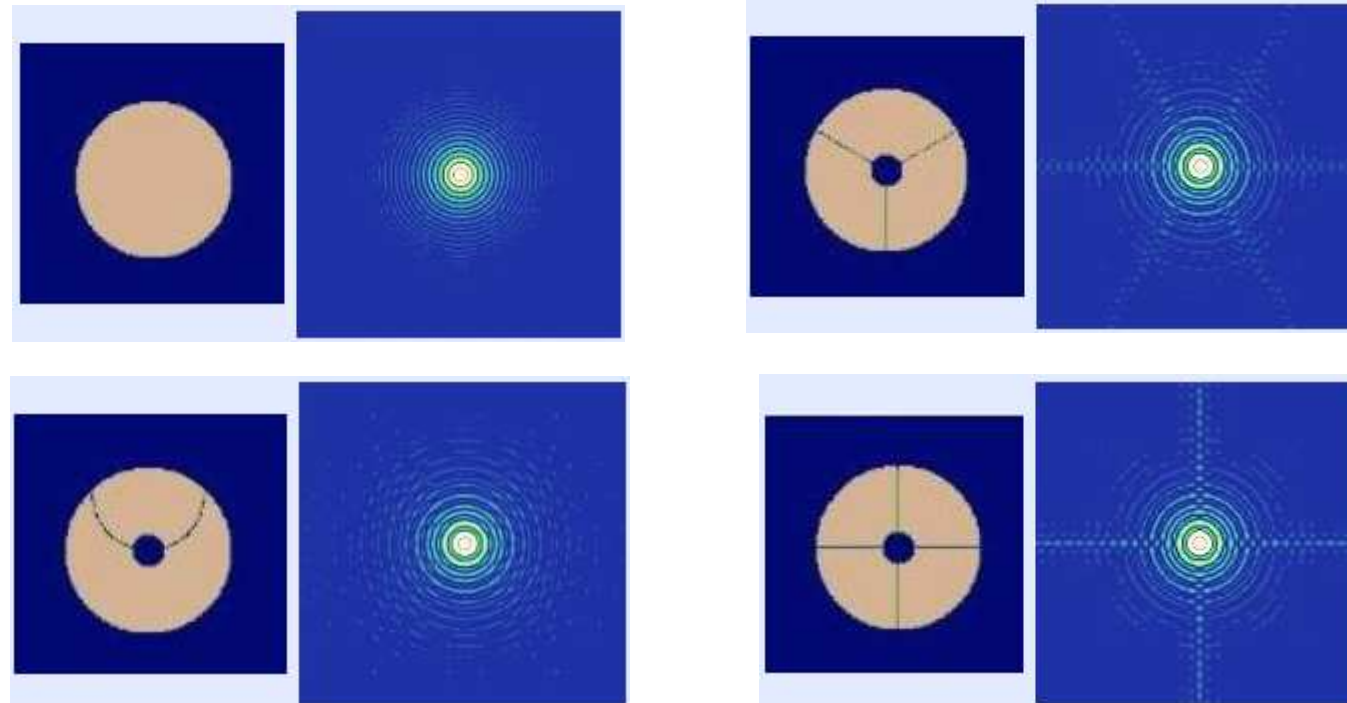
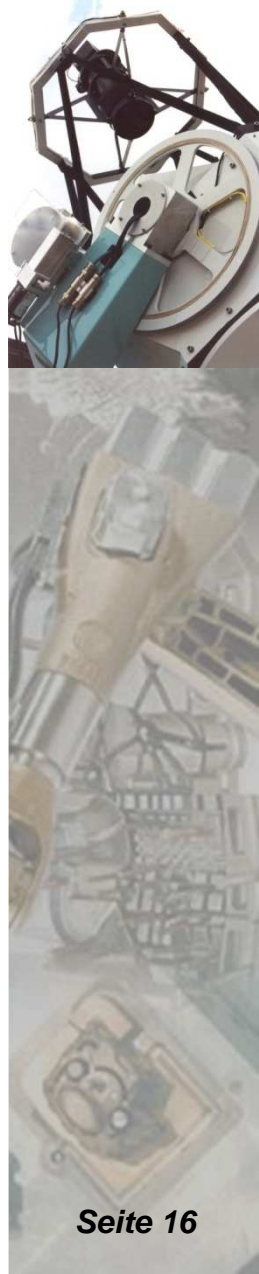


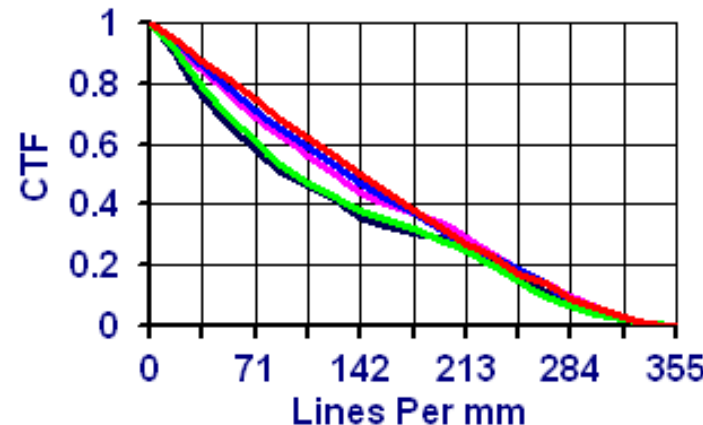
Figure 23: Diffraction Pattern



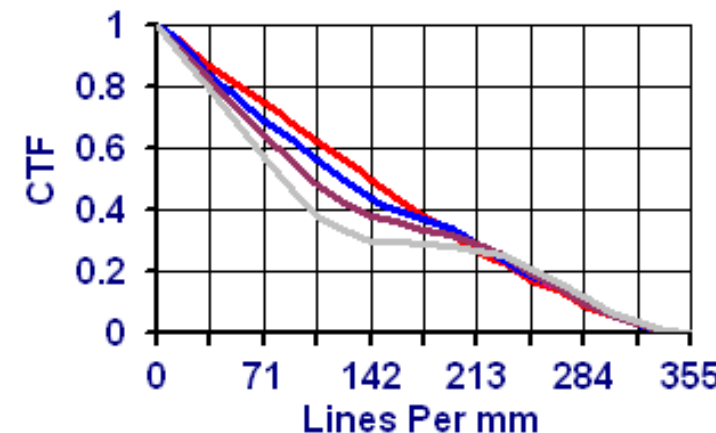


Kontrast - Contrast Transfer Function (CTF):

- 1/4 λ Mirror + 20% Obstruction
- Perfect or 1/10 λ Mirror + 20% Obstruction
- 1/10 λ Mirror
- 1/4 λ Mirror
- Perfect Mirror



- 0% Obstruction (Perfect Mirror)
- 20% Obstruction
- 30% Obstruction
- 40% Obstruction





Abbildungsfehler:

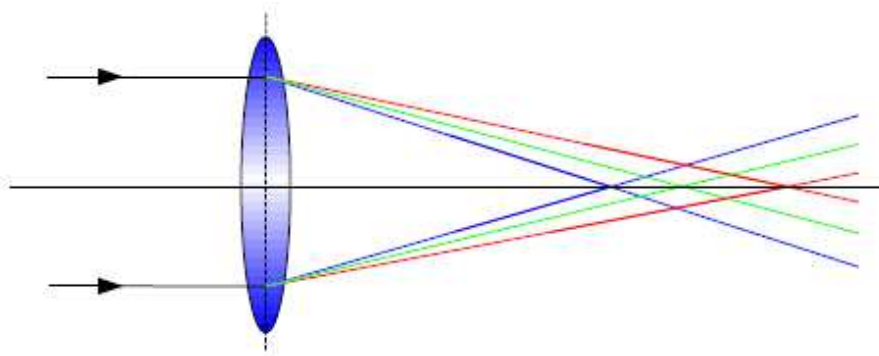


Figure 15: Longitudinal Chromatic Aberration

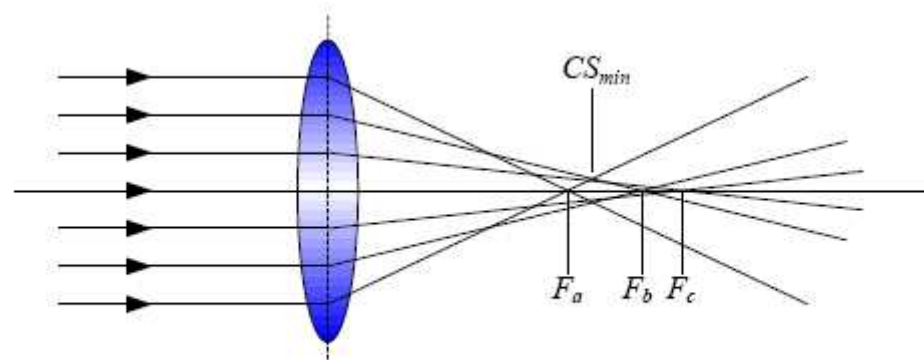
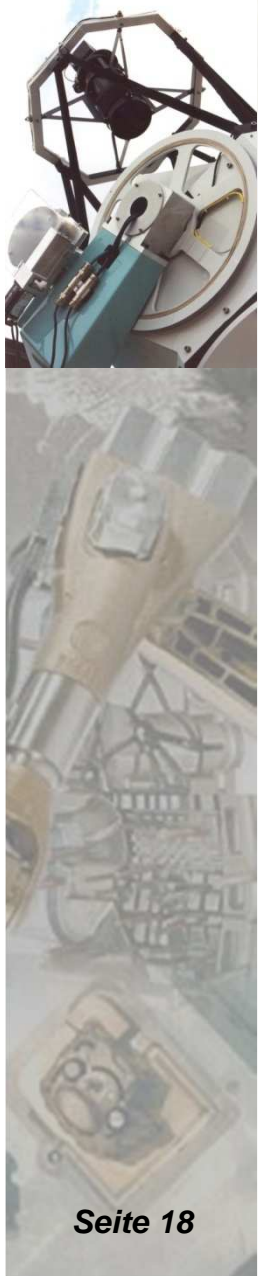


Figure 16: Spherical Aberration





Abbildungsfehler:

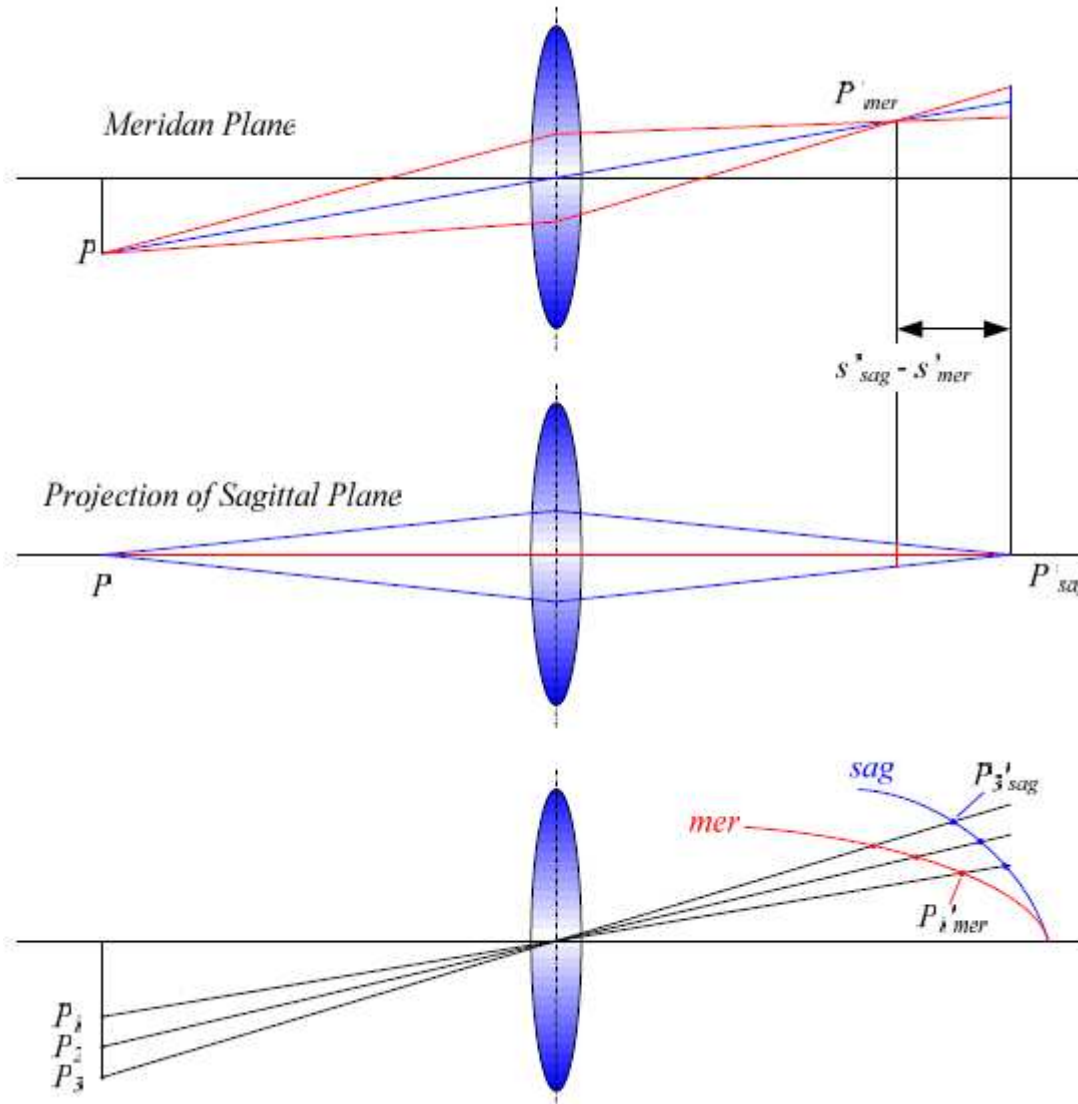


Figure 19: Astigmatism

Abbildungsfehler:

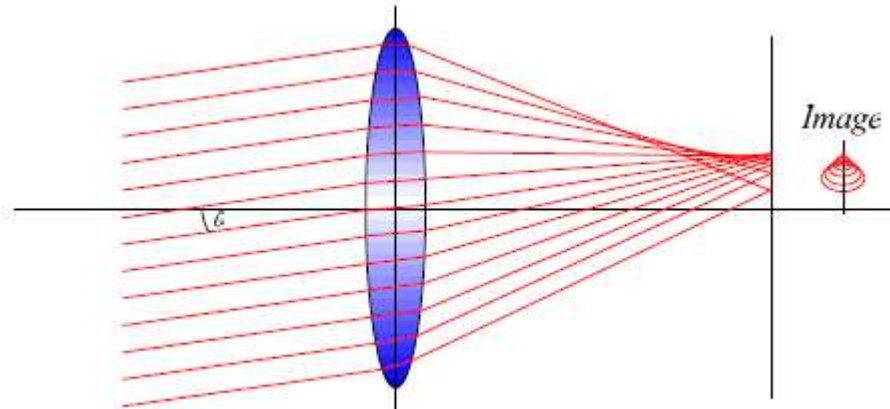
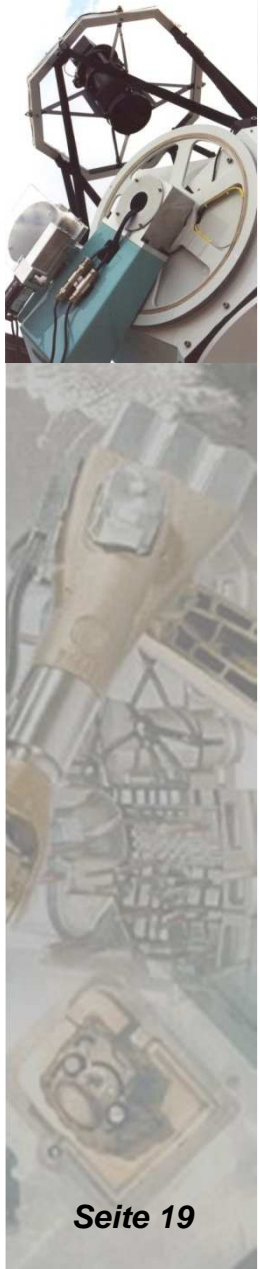


Figure 20: Coma

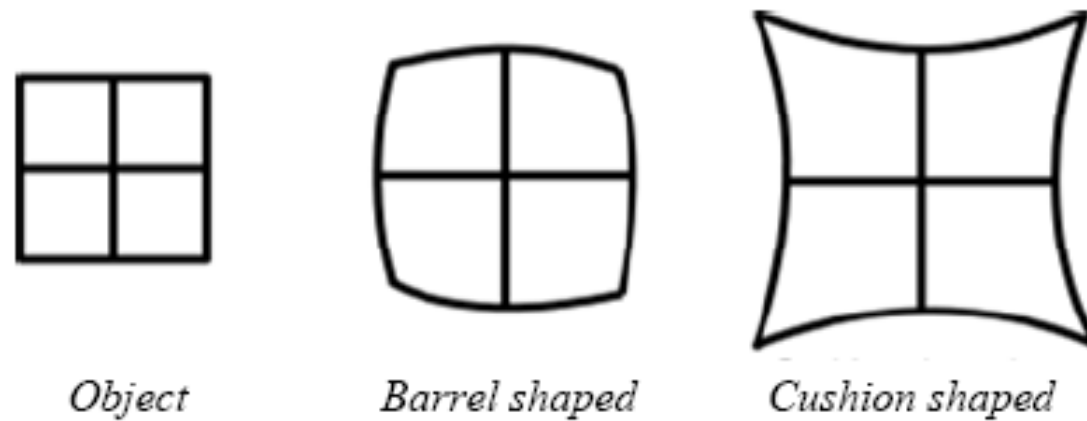
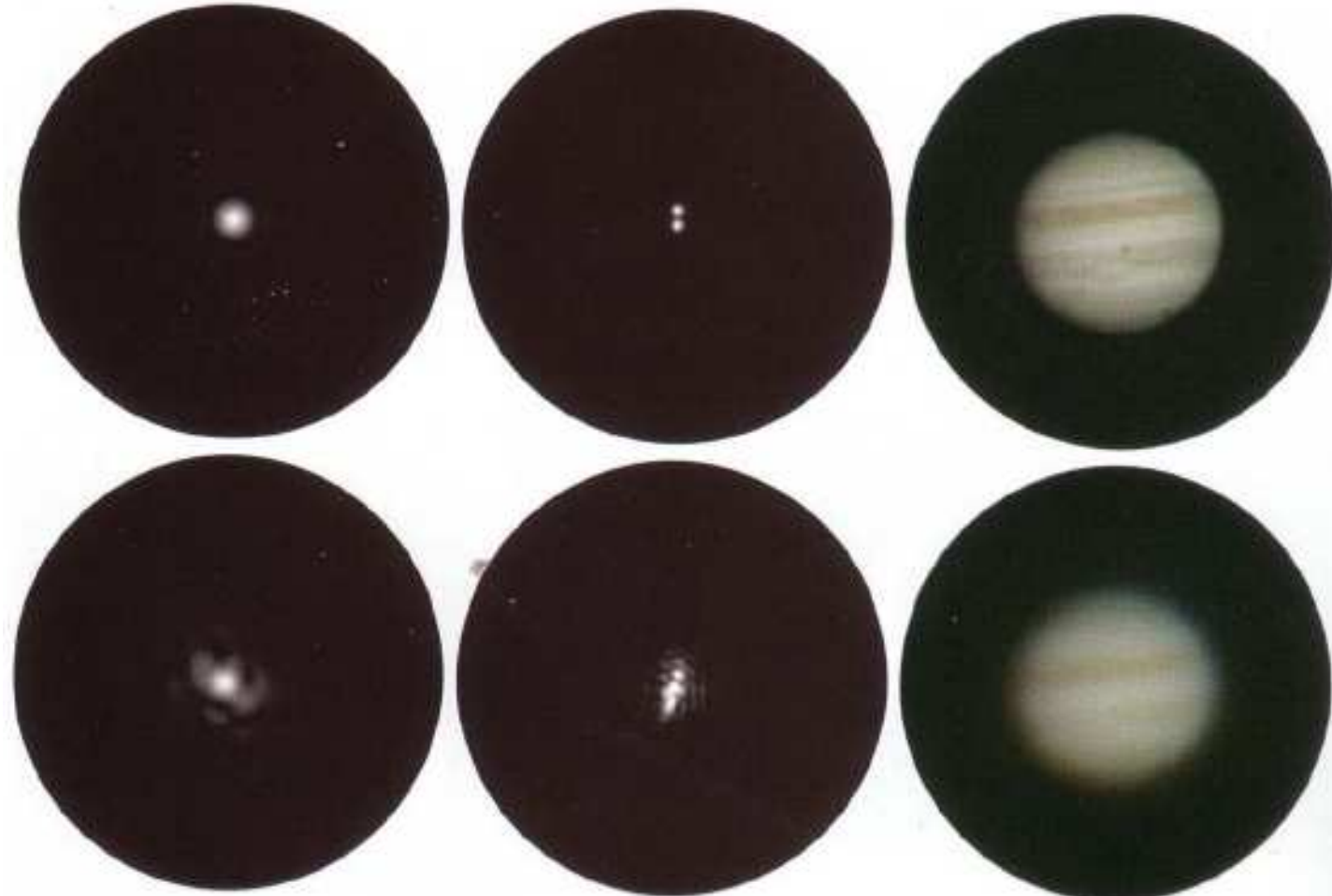
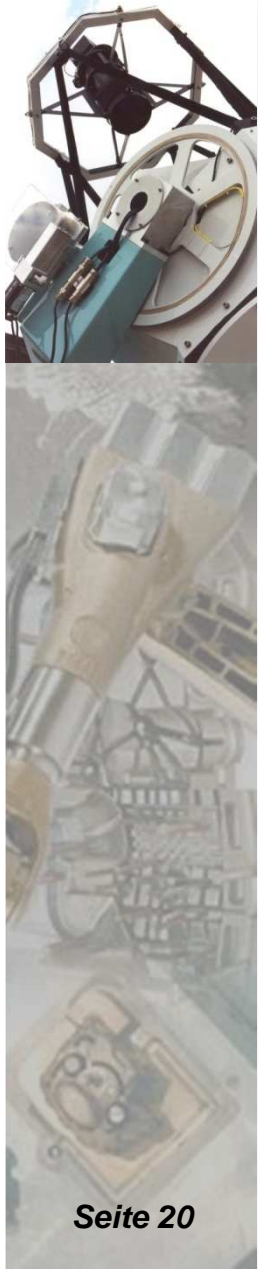
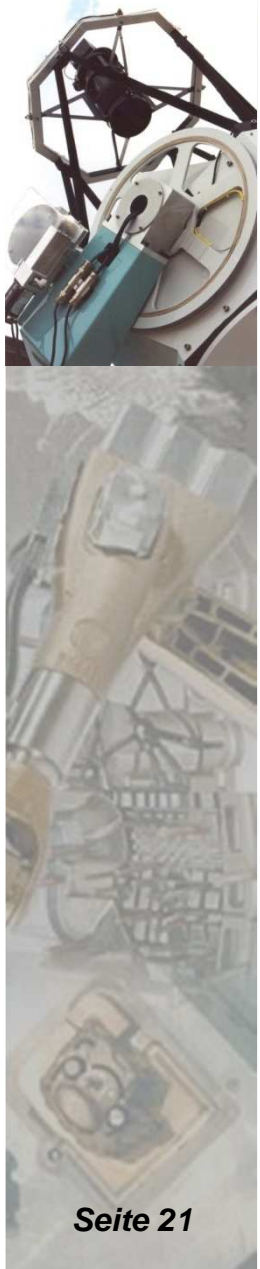


Figure 21: Distortion of the Image

„Seeing“:





Thermische Effekte:

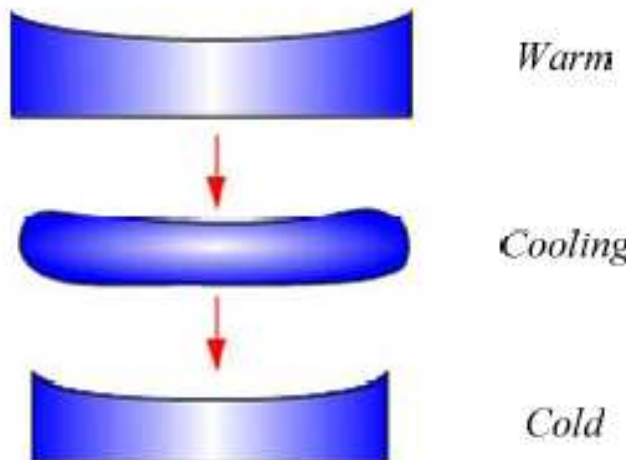


Figure 25: Glass Cooling

Wärmeausdehnung: $L = L_0(1 + \alpha \cdot \Delta T)$

Wärmeleitfähigkeit: $\lambda = \frac{Q}{t} \cdot \frac{L}{A \cdot \Delta T}$ W/m*K

Wärmekapazität: $c = \frac{Q}{m \cdot \Delta T}$ J/Kg*K

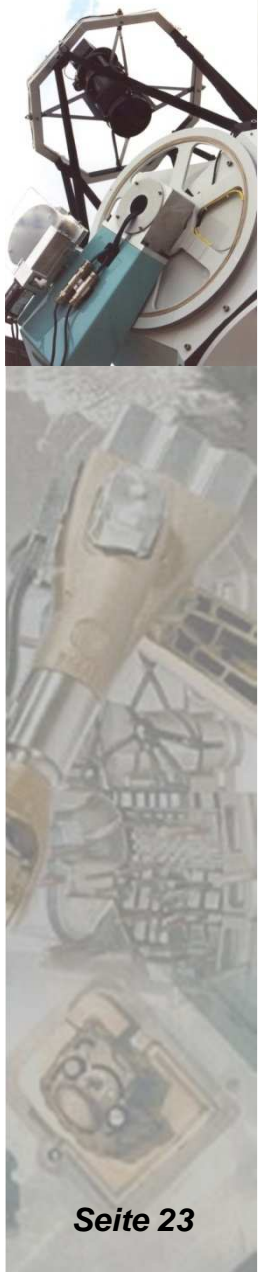


Thermische Effekte:

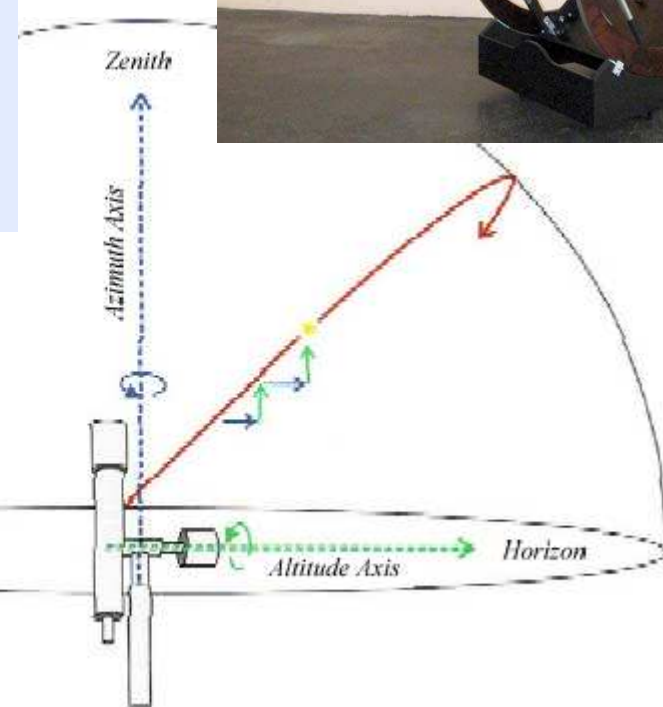
Glass Type	Thermal Coefficient of Expansion ($10^{-6}/K$)	Thermal Conductivity (W/m*K)	Specific heat (J/KgK)	Relative Material Cost (Plate Glass=1)	Comments
Plate Glass	>8.6	0.75	730	1	Produced by Everybody. Suitable for Elliptical flats and quite suitable for mirrors up to 12", as these smaller and thinner mirrors stabilize quicker. But most customers are now going for a lower expansion glass, even for these smaller sizes
Suprax 8488	4.3	1.2	?	1.1	Produced by Schott. Our main "Low Expansion Glass" manufactured up to mid 2004 and then the kiln was shut down. A supply became available again in 2006. It is popular because its price is close to that of Plate Glass.
Pyrex 7740	3.25	1.13	726	1.3	Produced by Corning. Saw more use from mid 2004 as a replacement for Suprax. Thermal Coefficient is marginally better than Suprax, but more expensive at current prices
BK7	7.1	1.11	858	1.1	Produced by Everybody. Our main use is Cassegrain secondaries, where we need the good transmission characteristics for testing
BVC	2.4-2.8	?	?	1.2	Produced by ASM products of Canada. Definitely a serious option for very large mirrors, but not currently popular for smaller mirror, due to its "looks" (It's Black!) Became more popular in mid 2004.
Fused Silica	0.55	1.38	703	?	
Zerodur	>0.02	1.64	821	>10	Produced by Schott. This has extremely low thermal expansion, but you have to be able to afford it!
ULE 7971	>0.05	1.31	776	?	Produced by Corning. As an alternate to Zerodur.
Borofloat	3.25	1.11	830	?	Produced by Schott. As an alternative to Pyrex.
E6	2.8	1.1	730	?	Produced by Ohara. As an alternative to Pyrex.

Table 1: Glass Types for Telescope Mirrors

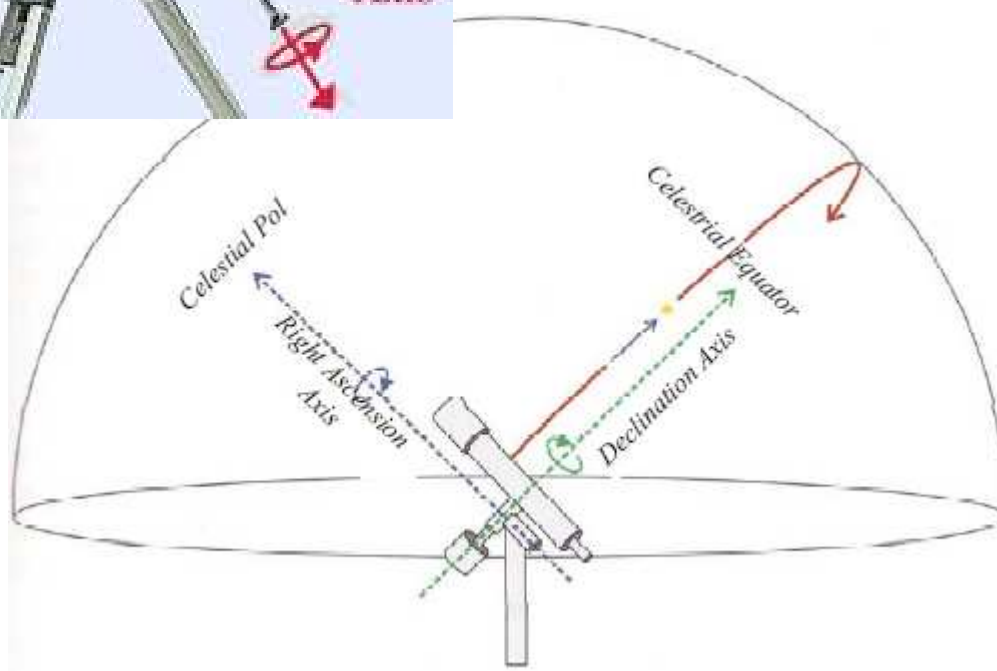
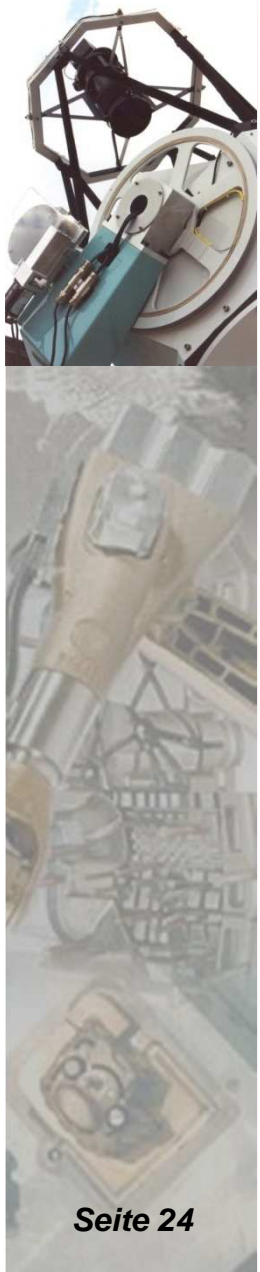
Alt-Azimuth Montierung:



Seite 23



Äquatoriale Montierung:



Formen Äquatoriale Montierung:

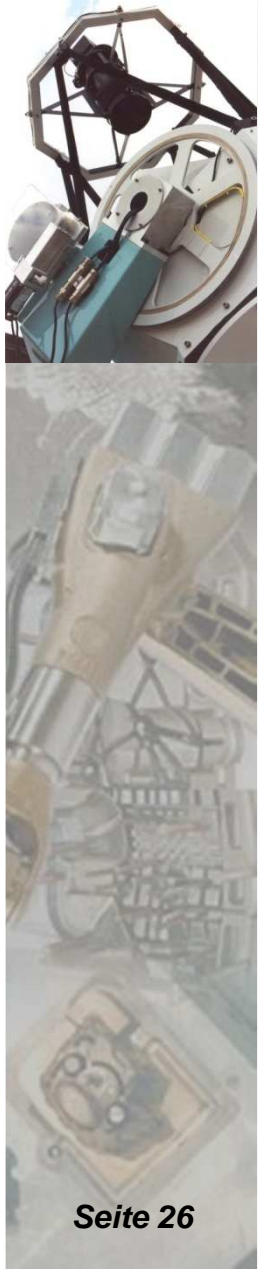


Deutsche Montierung

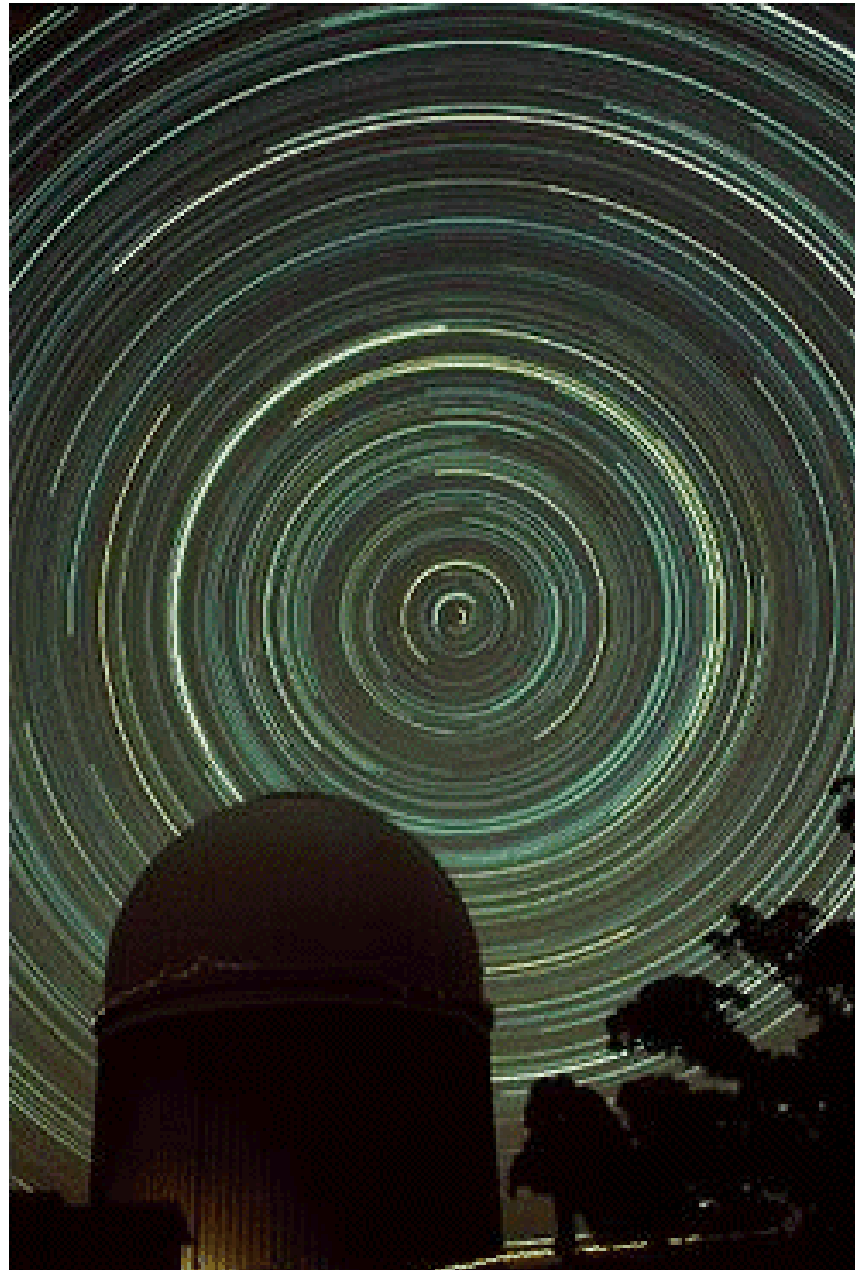


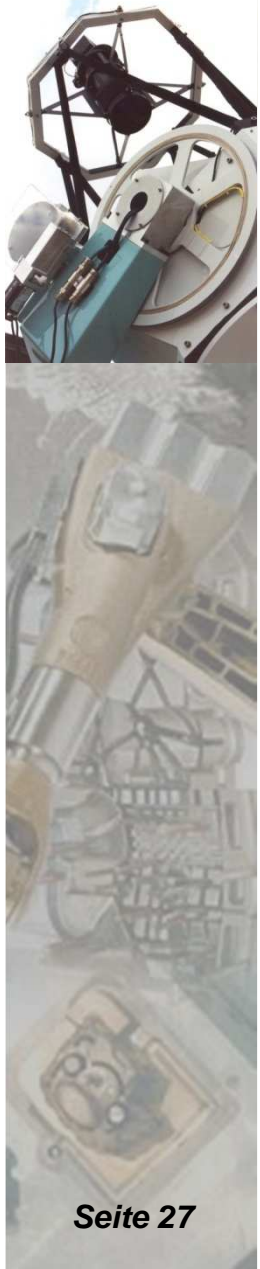
Gabelmontierung





Montierung - Nachführung:





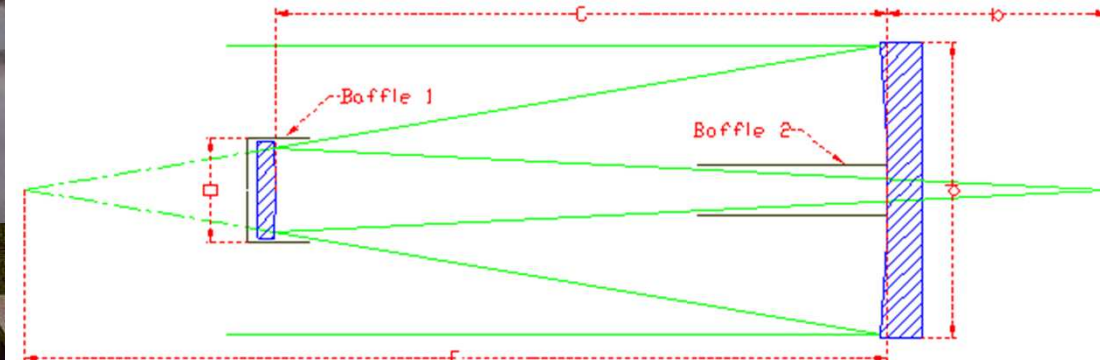
Das FH-Teleskop:



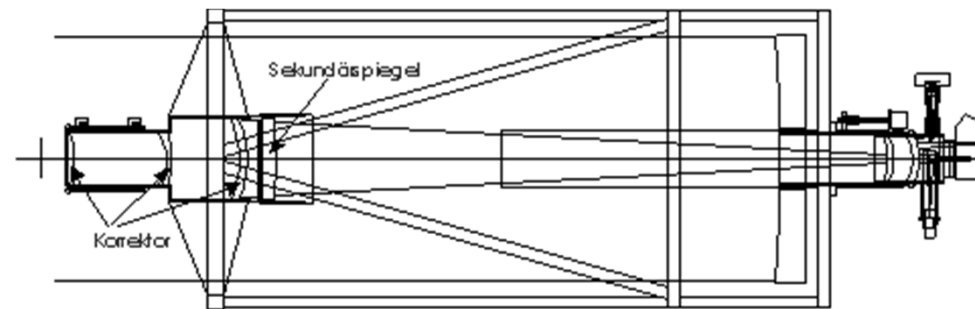
Selbstbau eines 40cm Spiegelteleskops:

Cassegrain Sekundärfokus ($F/10 = 4000 \text{ mm}$):

Cassegrain Mirror Pair



Primärfokus mit Korrektor ($F/2,2 = 880 \text{ mm}$):



Die Optik:



WAVE FRONT DETAILS

Listing of Zernike Fringe Coefficient Data

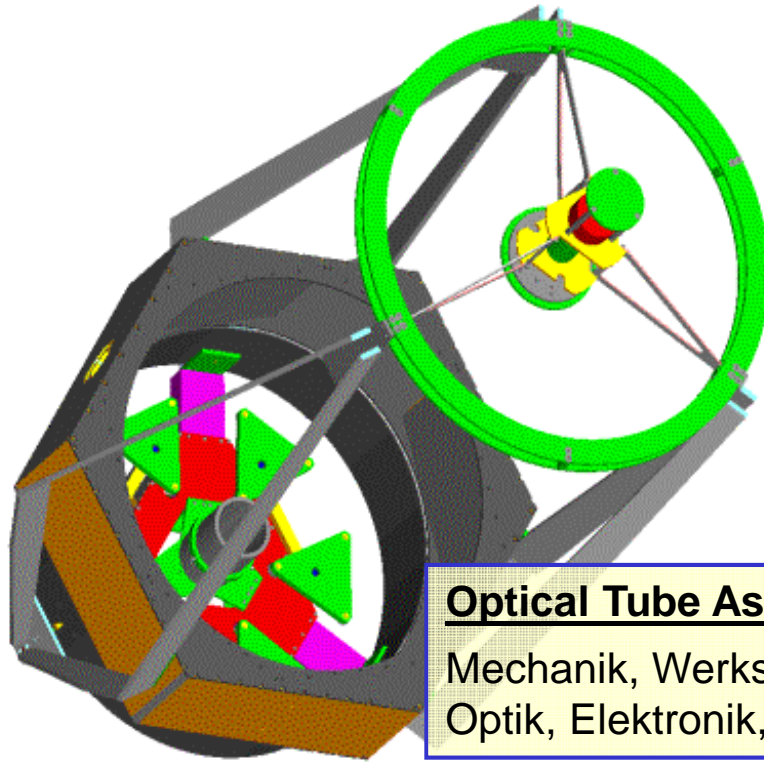
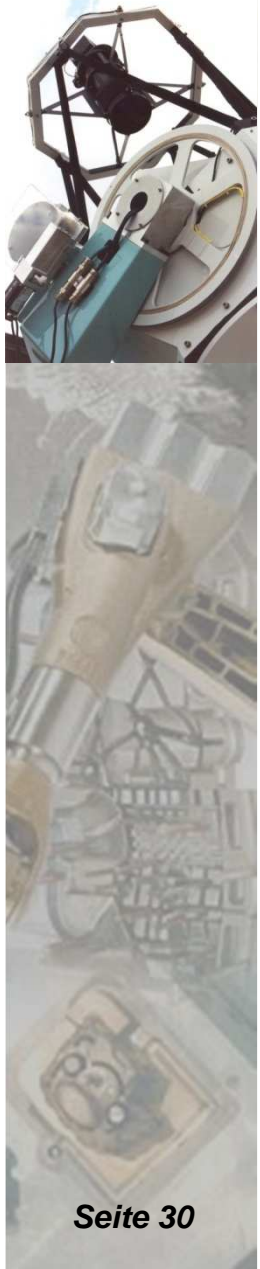
Title: Steinbatz

Date : Friday May 19 2006

Wavelength	:	0.550 microns
Peak to Valley	:	0.104 waves
RMS (to chief)	:	0.030 waves
Strehl Ratio	:	0.964

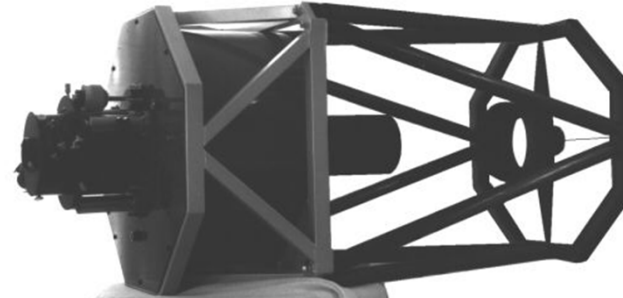


Optischer Tubus:

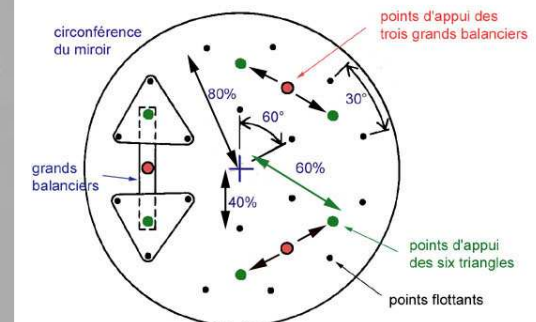
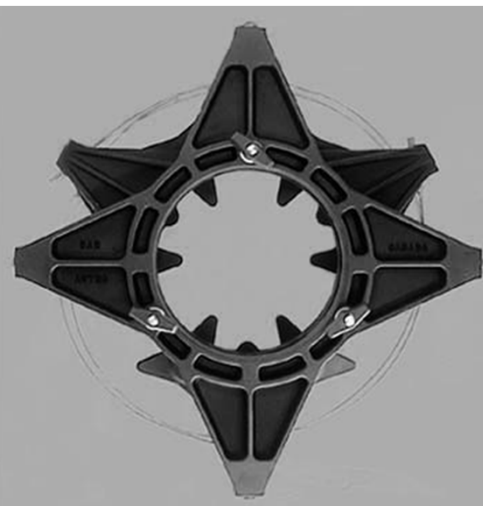
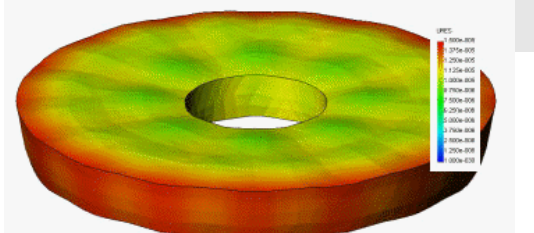
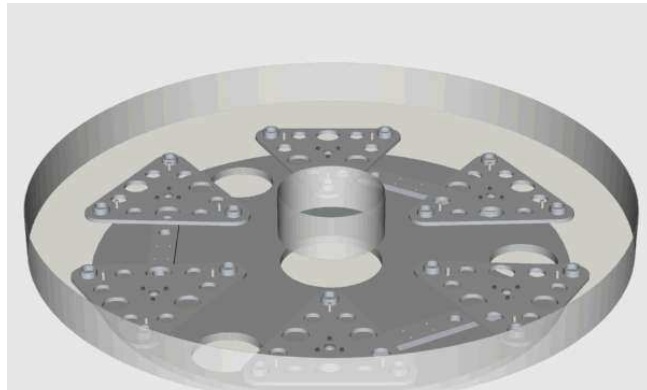


Optical Tube Assembly (OTA):

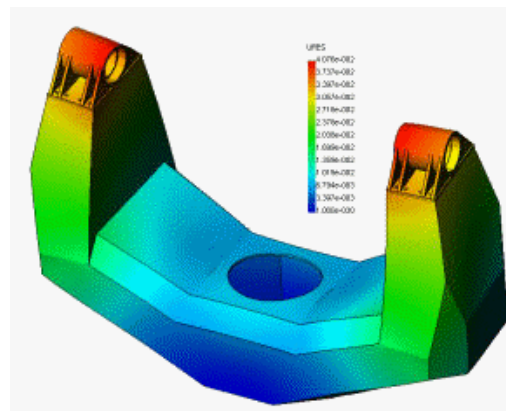
Mechanik, Werkstoffe (CFK),
Optik, Elektronik, Sensorik



Spiegelhalterungen:



Montierung:



Montierung:

Mechanik, Automatisierung, Antriebstechnik,
Elektronik, Sensorik

Tragwerk: Alu, Niro, CFK, ...

Antrieb: Schrittmotoren + Steuerung + Untersetzung

Direktantriebe!

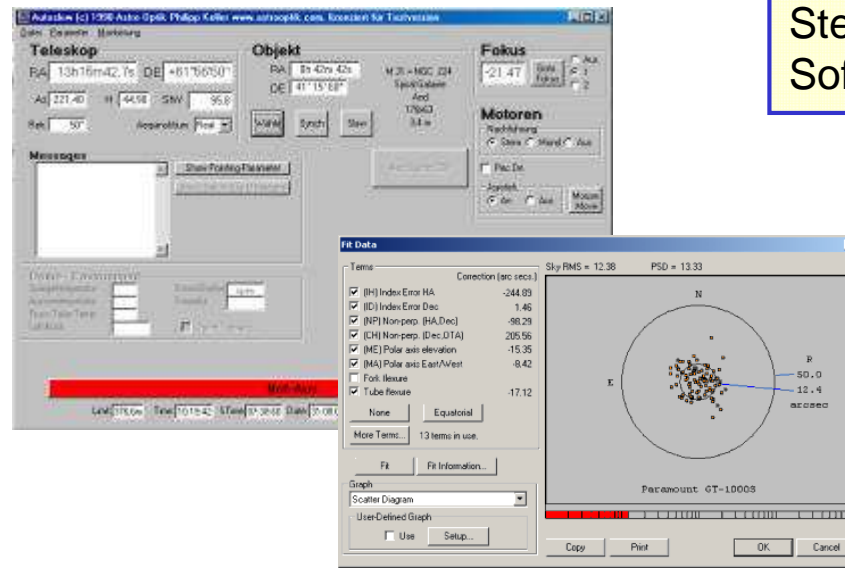
Sensoren: Optische Encoder

Lager: Teflon-Speziallager (Eigenbau)





Steuerung:



GOTO + Guiding:

Steuerungs- & Regelungstechnik,
Software-Entwicklung

Vollautomatische Beobachtung (remote controlled – Internet)
Satelliten-Tracking
„Mietbare“ Beobachtungszeit

Justierung der optischen Komponenten:

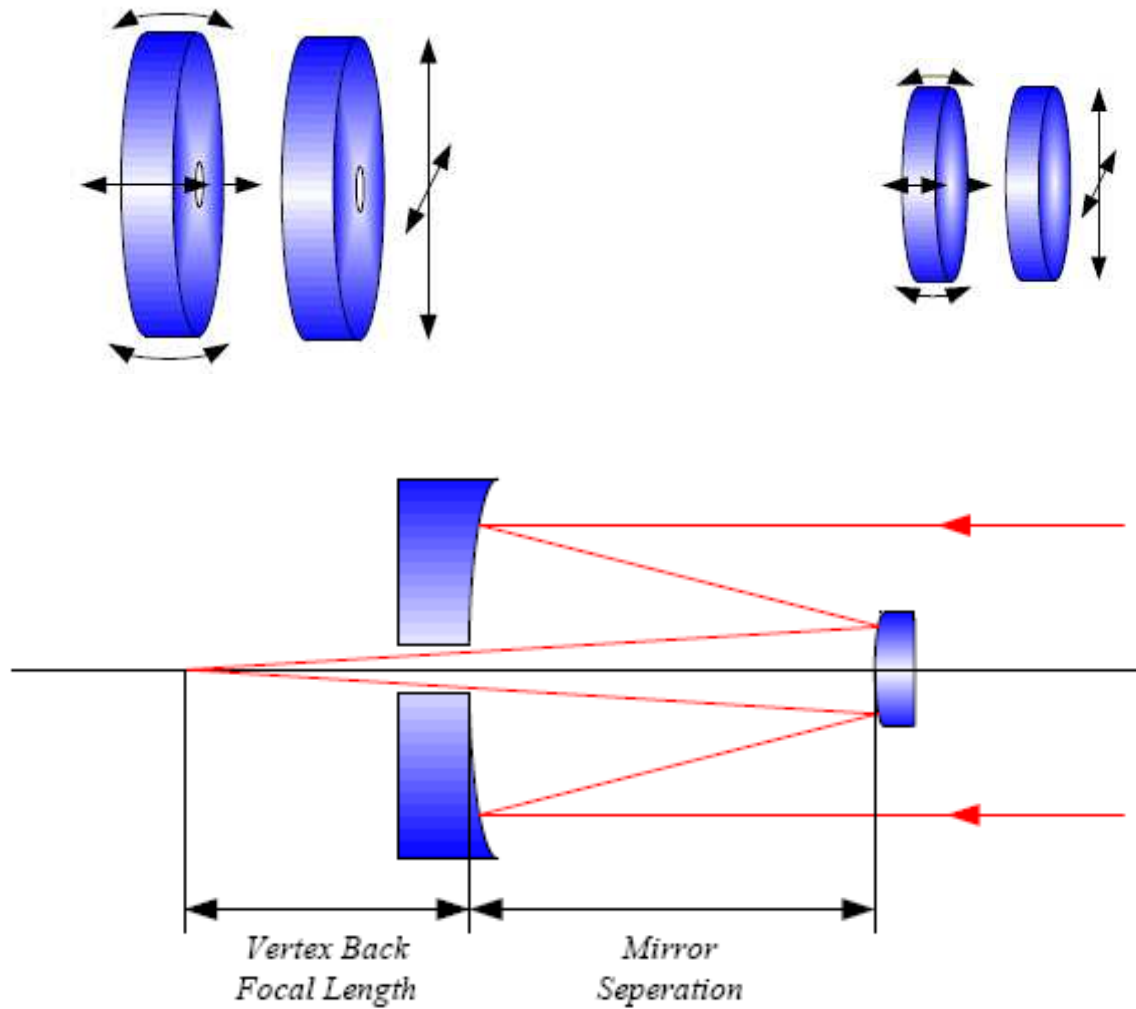
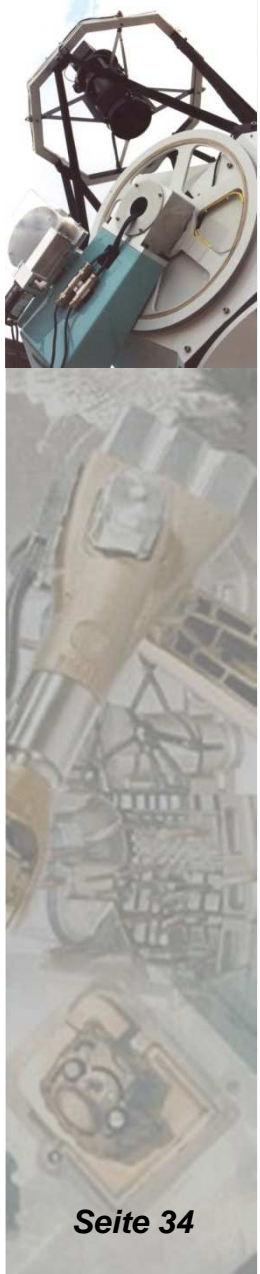


Figure 31: Critical Dimensions of a Cassegrain

Collimation:



Adjusting Secondary
Lateral



Secondary
Mirror High
of Axis



Secondary
Mirror Left
Of Axis



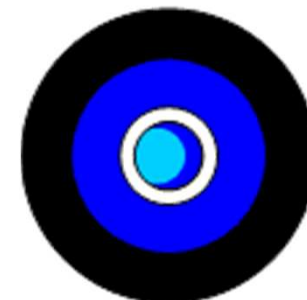
Secondary
Mirror Dead
On Axis



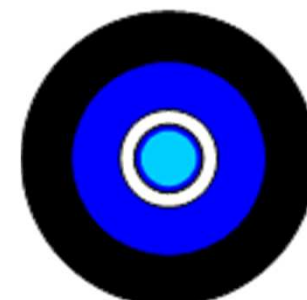
Adjusting Secondary
Tilt



Reflection
High Of
Axis

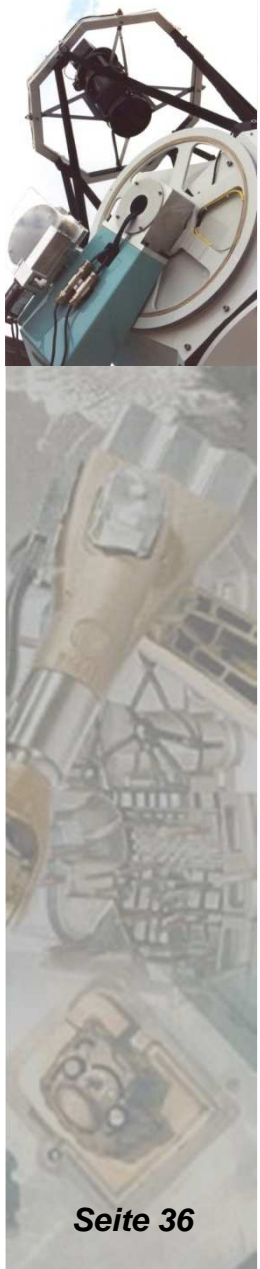


Reflection
Left Of
Axis



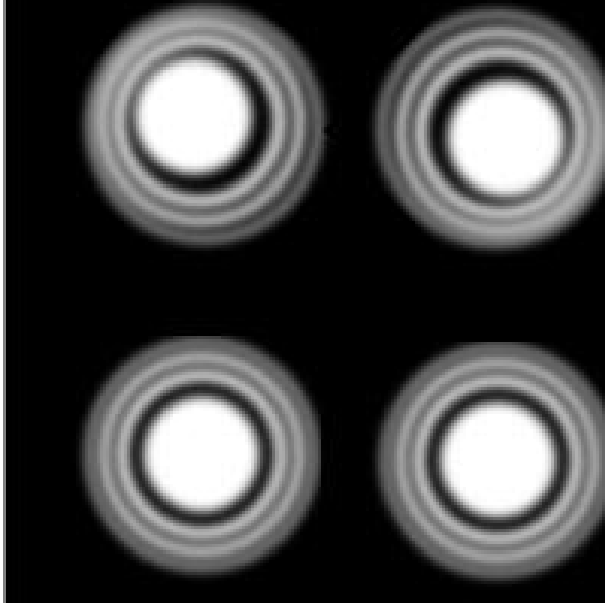
Reflection
Dead On
Axis

Collimation:



Adjusting Primary Tilt

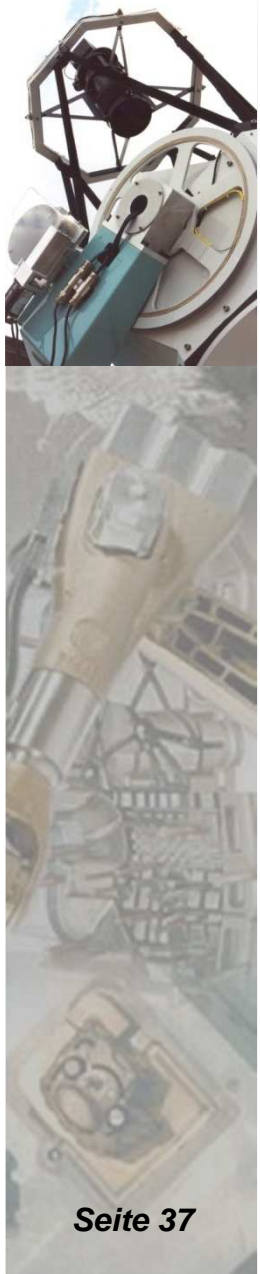
View Inside & Outside Focus



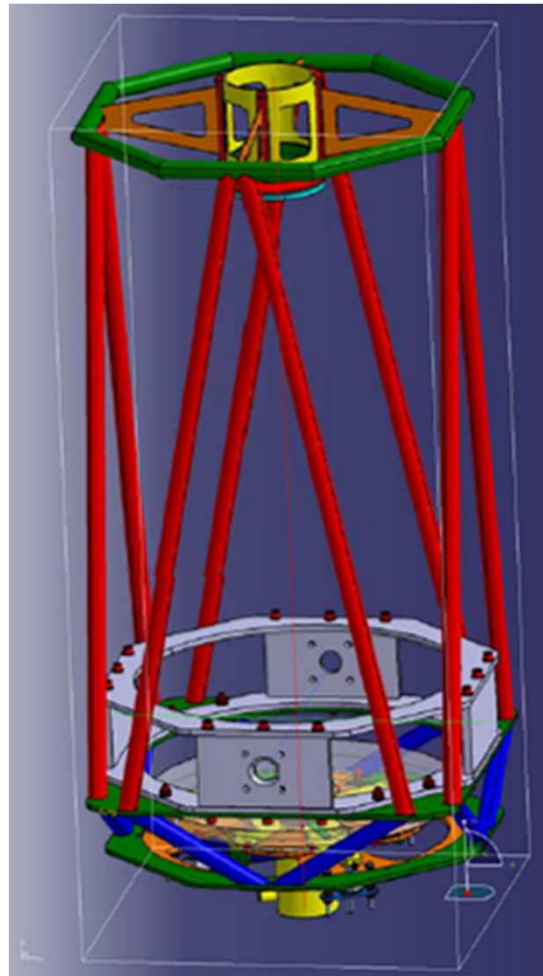
**View With High Power Eyepiece
Coma Present
Asymmetrical Disk & Rings
In This case The Axis Of The
Coma is Running Top Left to
Bottom Right**

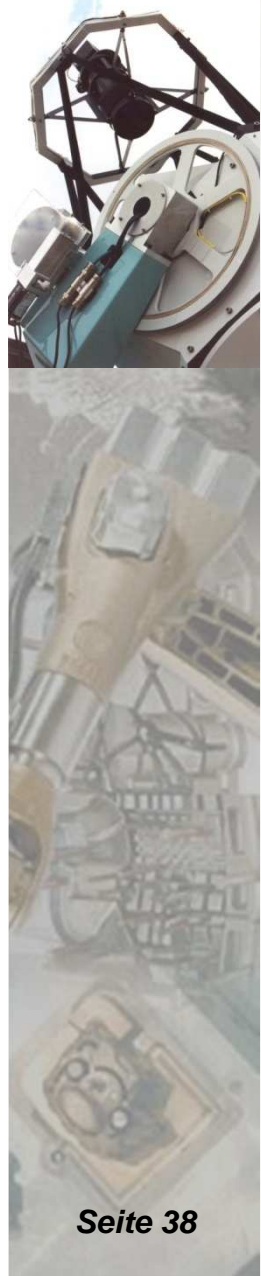
**View With High Power Eyepiece
No Coma Present
Concentric Disk & Rings**

Der Gitterrohr-Tubus:

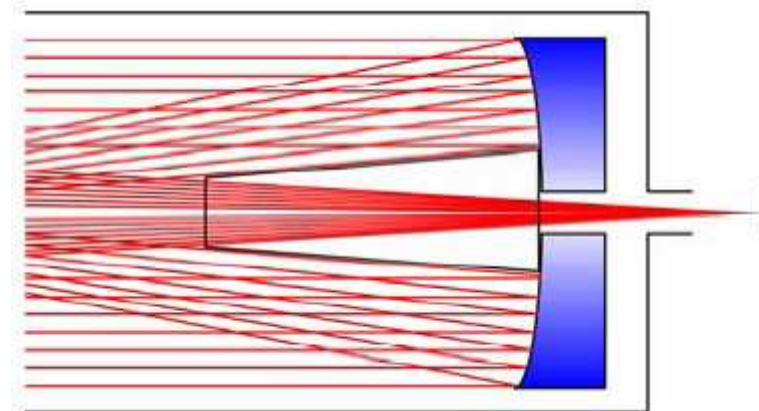
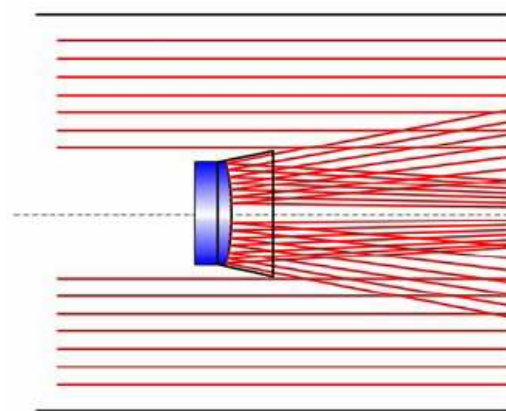
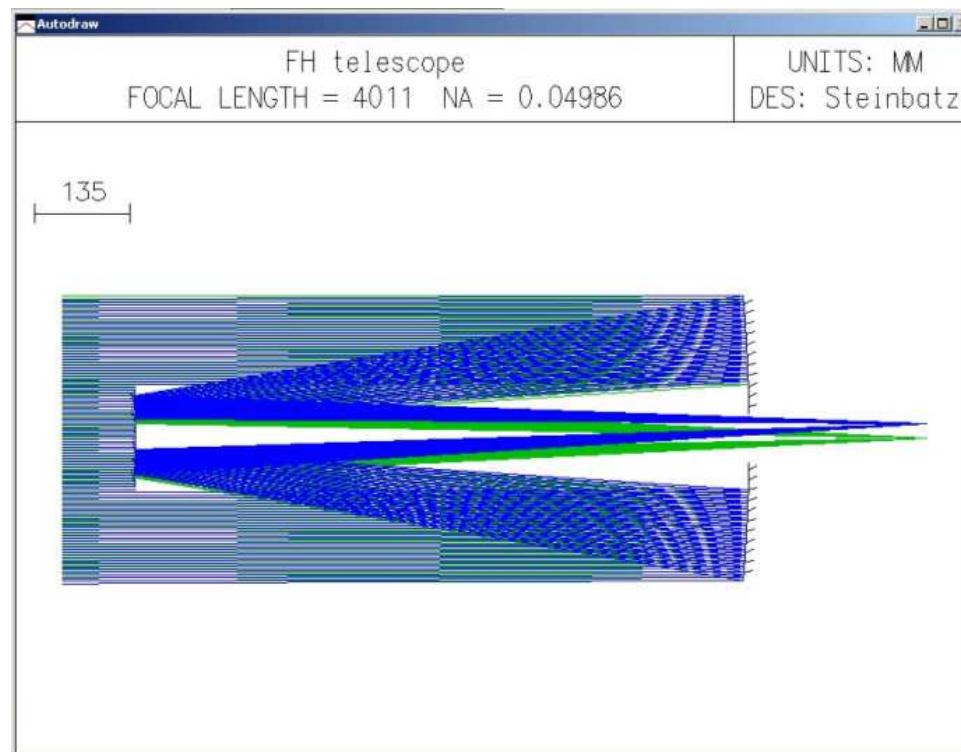


CAD Modell

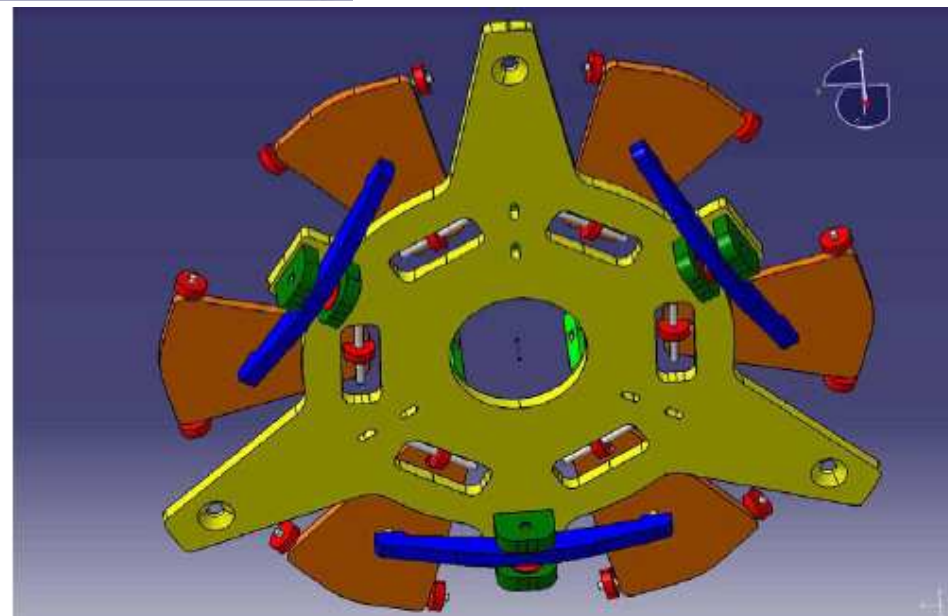
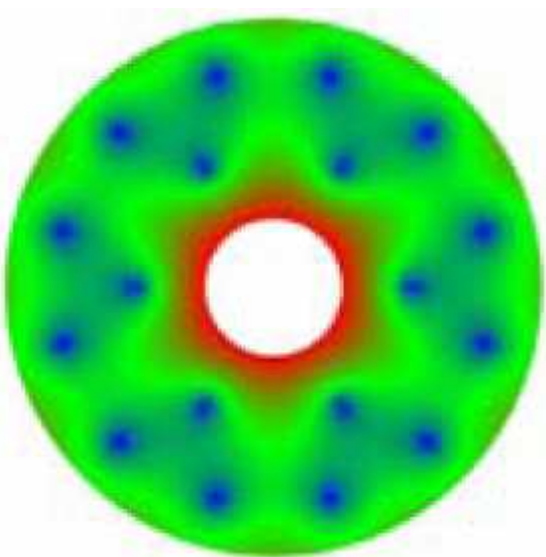
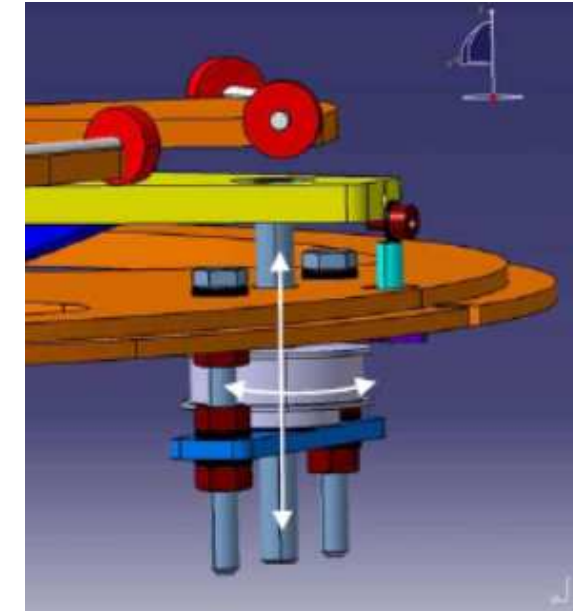
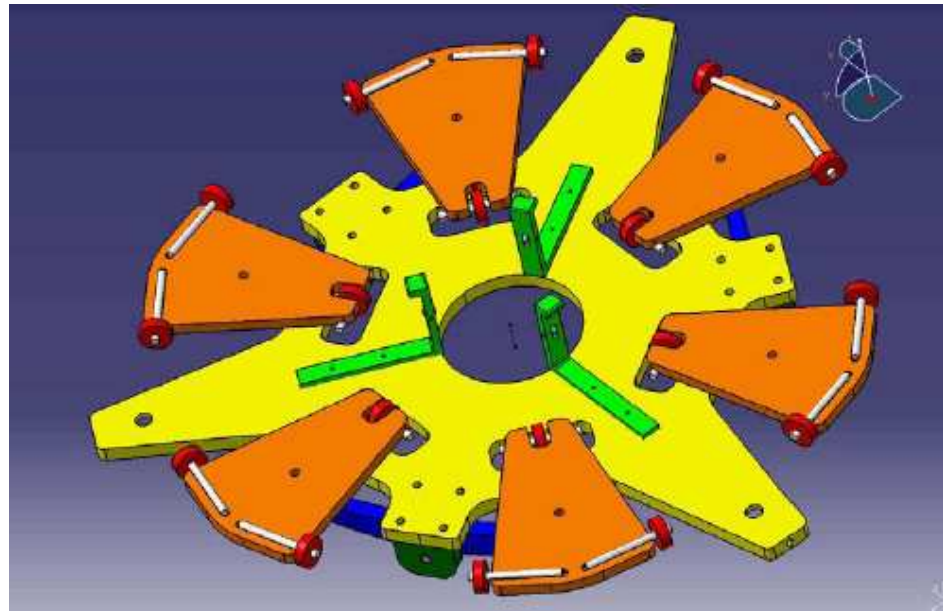




Baffles:



Die Hauptspiegelzelle:



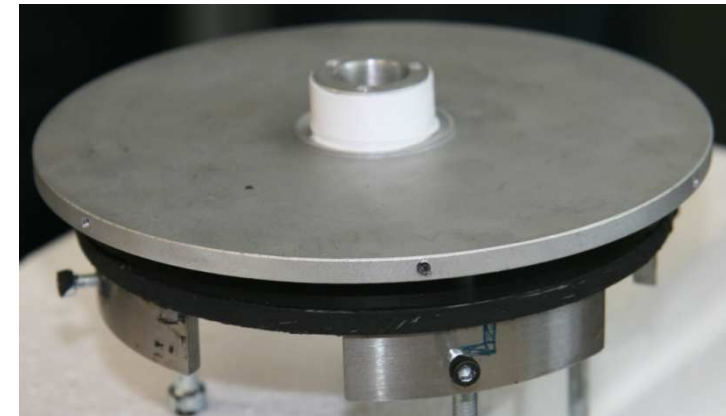
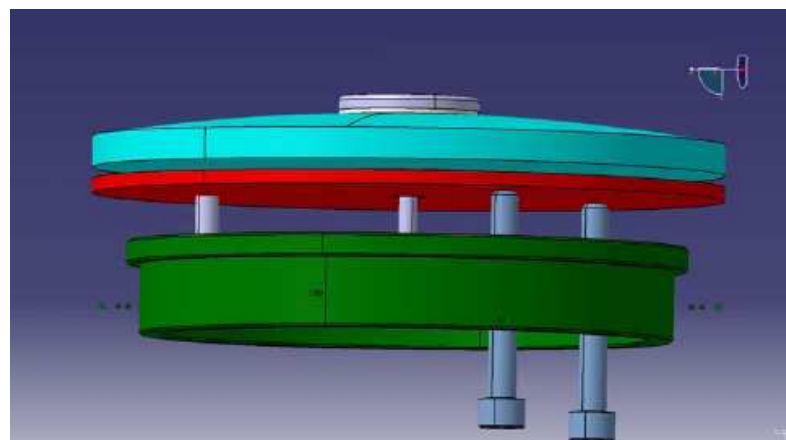
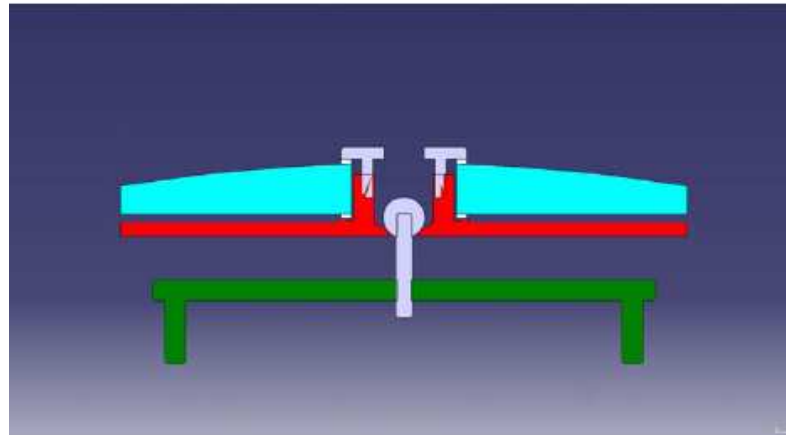


Die Hauptspiegelzelle:

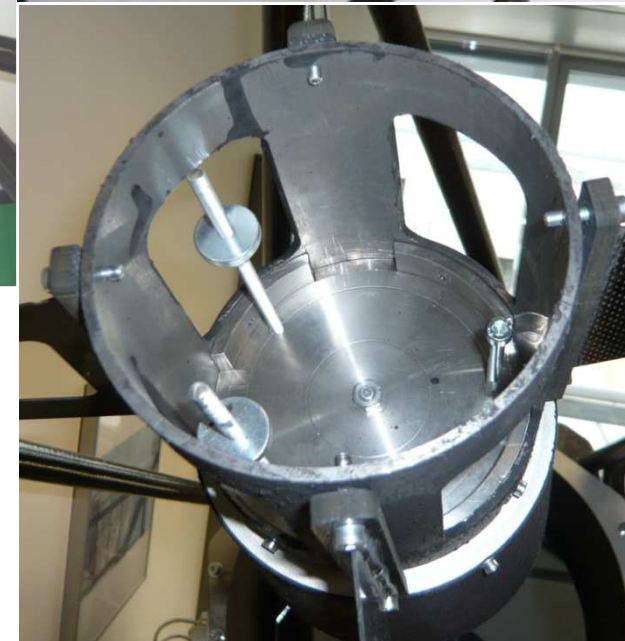




Die Sekundärspiegelhalterung:

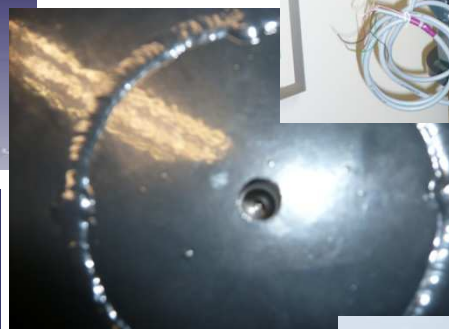
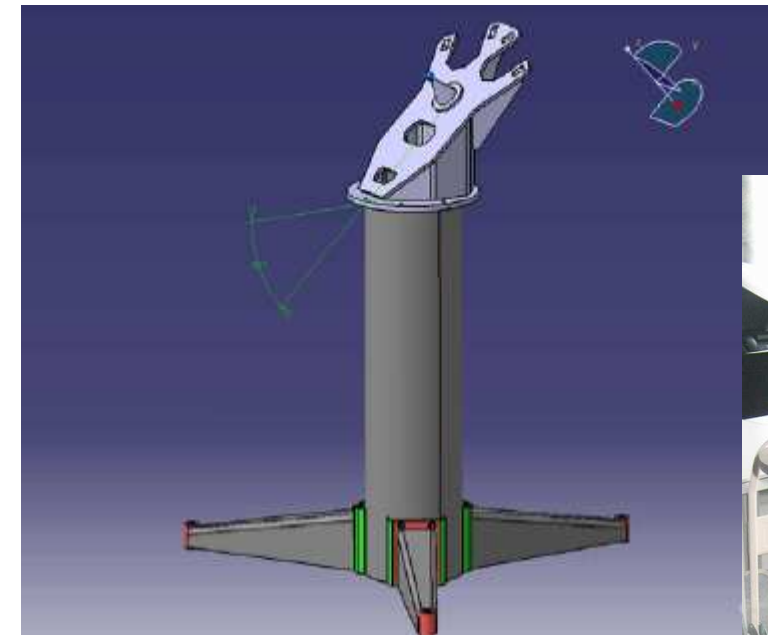
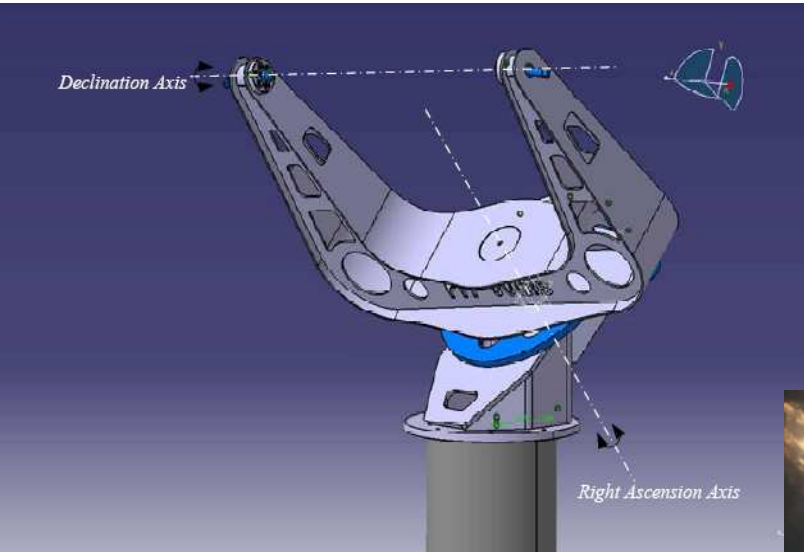


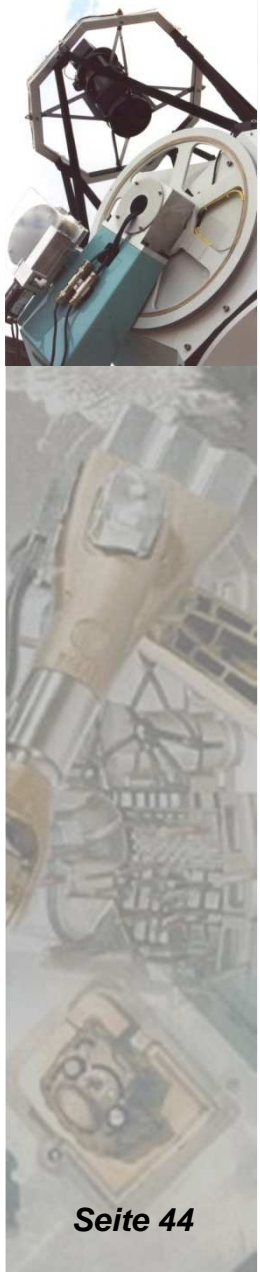
Die Sekundärspiegelhalterung:





Die Gabelmontierung:





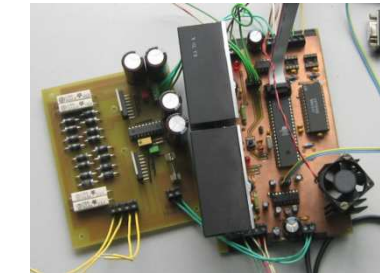
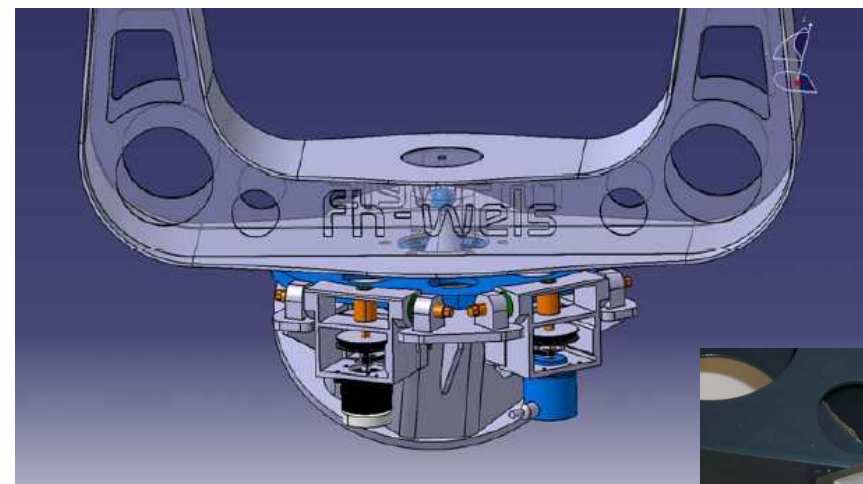
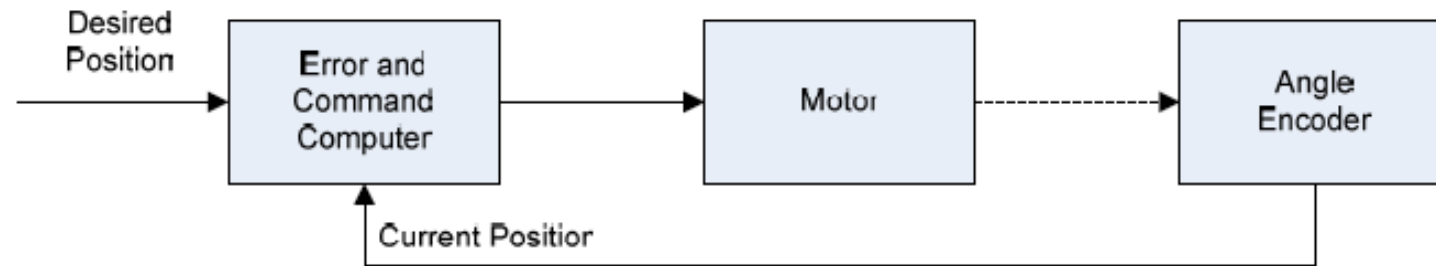
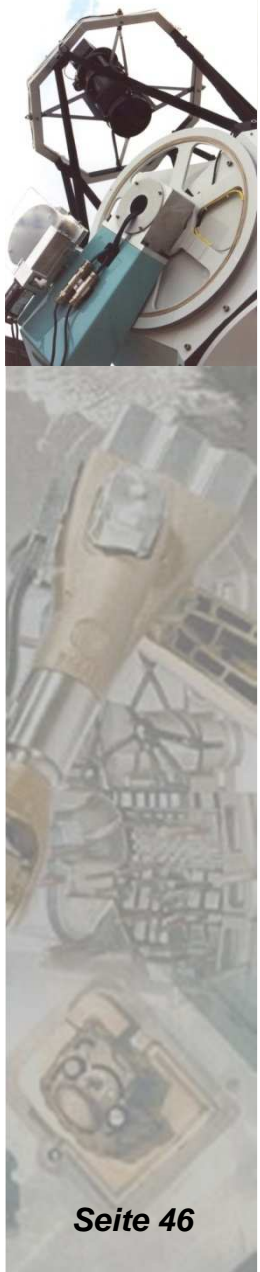
Die Gabelmontierung:



Einige Komponenten des Antriebs:



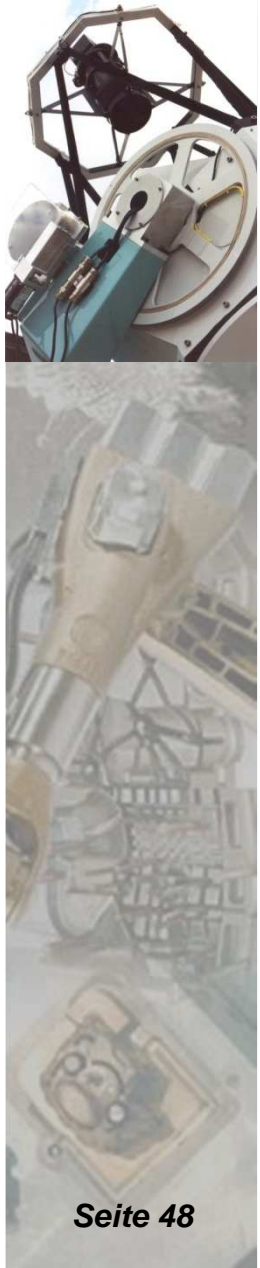
Antrieb / Nachführung RA:





Der Zusammenbau:

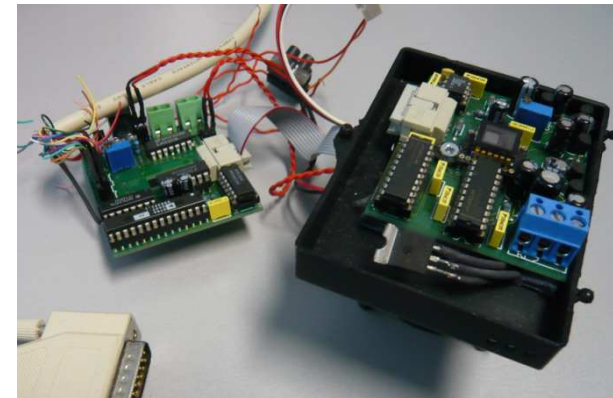




CCD-Kamera:

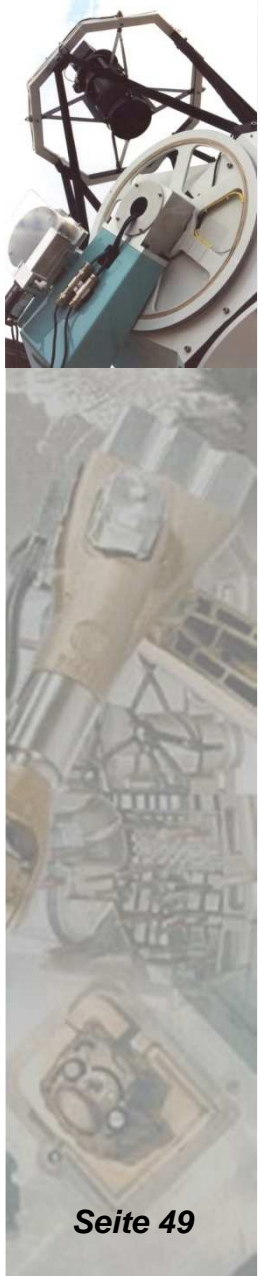
- Entwicklung der Kamera-Elektronik samt Software
- Modulares Konzept für verschiedene CCDs
- CCD Analog Board
- CCD Amplifier Board
- Controller Board (MCU)
- Communication Board (USB, Ethernet, ...)
- Optimierte Anforderungen (bestes S/N Verhältnis)
- DSP für digitales Auslesen des CCD

Erster Prototyp mit TC237H
CCD realisiert



Erweiterung auf KAF6303E





Bildbearbeitung:



Bildaufnahme & -Auswertung:

Messtechnik & Algorithmen (CCD-Technik,
Bildverarbeitung, Interferometrie, Spektroskopie,...)

Astronomische CCD-Kamera für Langzeit-
belichtungen (Peltier-Kühlung)

